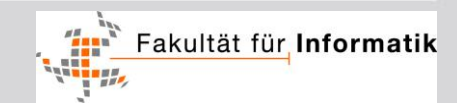


Kognitive Systeme Grundlagen Bildverarbeitung

Mittwoch, 26. April 2017

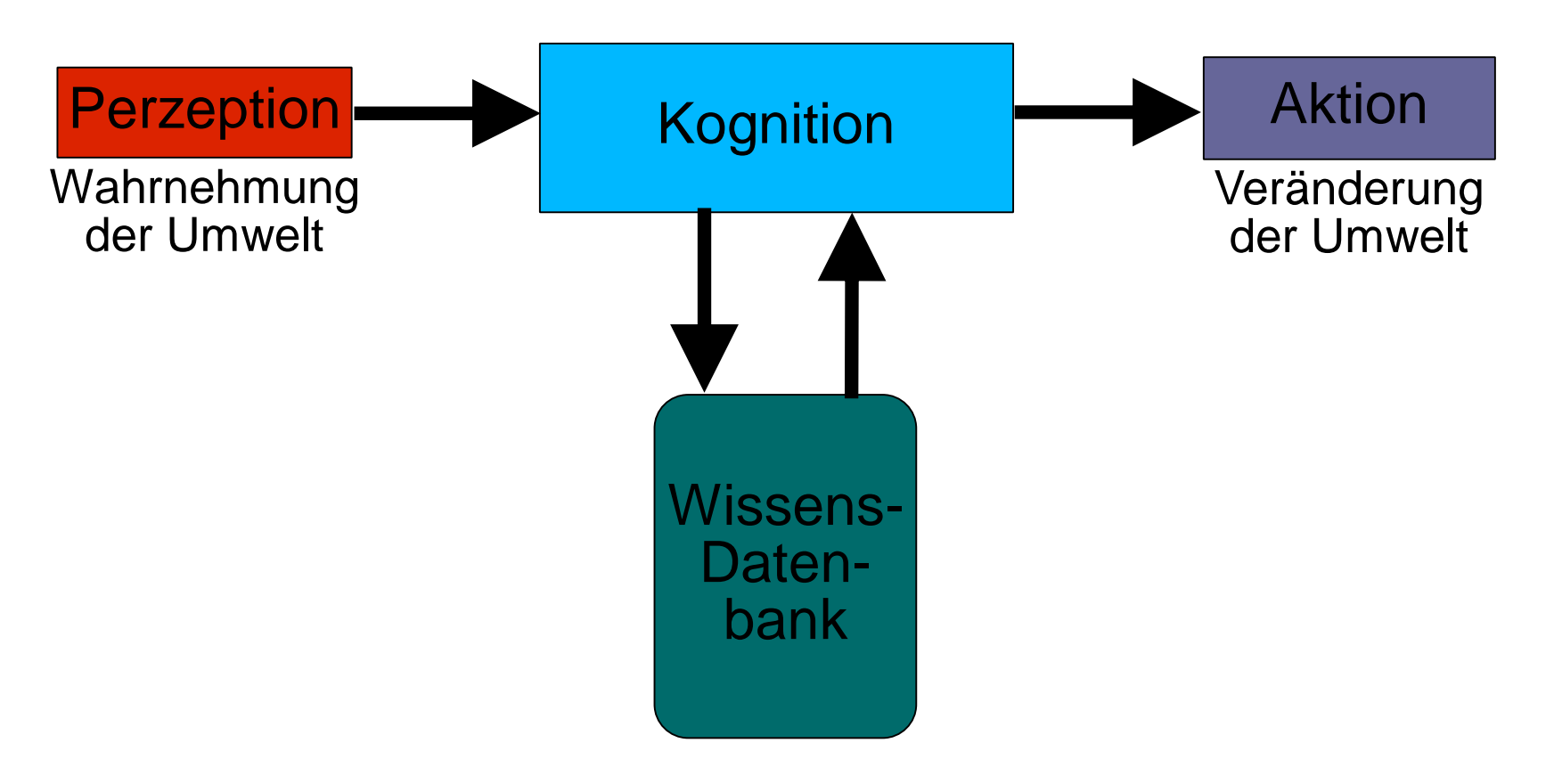


Zunächst: kurze Wiederholung



Elemente eines Kognitiven Systems

Ingenieursmäßiger Ansatz:



Elemente eines Kognitiven Systems



Elemente eines kognitiven Systems:

- Perzeption: Aufnahme der Umwelt durch Sensoren (Tasten, Hören, Sehen,...)
- Repräsentation von Umwelt: Repräsentation beobachteter Situationen, Zusammenhänge, Strukturen, Handlungen und Reaktionen darauf
- Kognition: Auf den Repräsentationen arbeitende Algorithmen
 - Deduktion
 - Induktion
 - Lernen
- Aktion: Ausführende Komponente (Textausgabe, Robotersystem,...)

Sensortechnologie



Klassifikation von Sensoren nach ihrer Funktion:

Sensoren kognitiver Systeme

Interner Sensor:

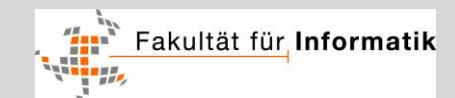
Erfassung innerer Zustände

Bsp: Winkel, Momente, Kräfte, Temperatur, Geschwindigkeit

Externer Sensor:

Information über Zustand der Umwelt

Bsp: Szenen, Situationen, Objekte, Relationen, Prädiktion, Absichten



Maschinensehen



Literatur:

Azad, Gockel, Dillmann

Computer Vision – Das Praxisbuch

Elektor Verlag

ISBN 3895761656

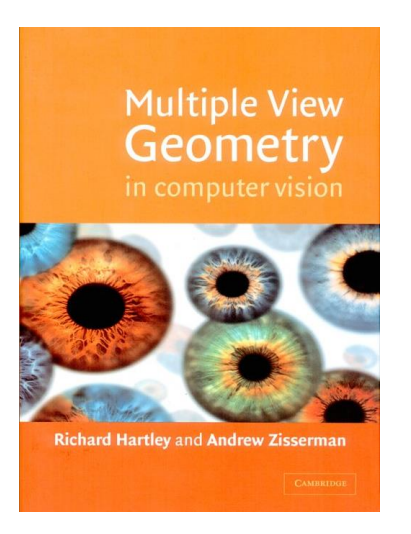


Hartley, Zisserman:

Multiple View Geometry in Computer Vision

Cambridge University Press

ISBN 0521540518



Maschinensehen



Literatur:

Bernd Jähne

Digitale Bildverarbeitung

Springer Verlag

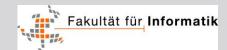
ISBN 3540412603



Maschinensehen

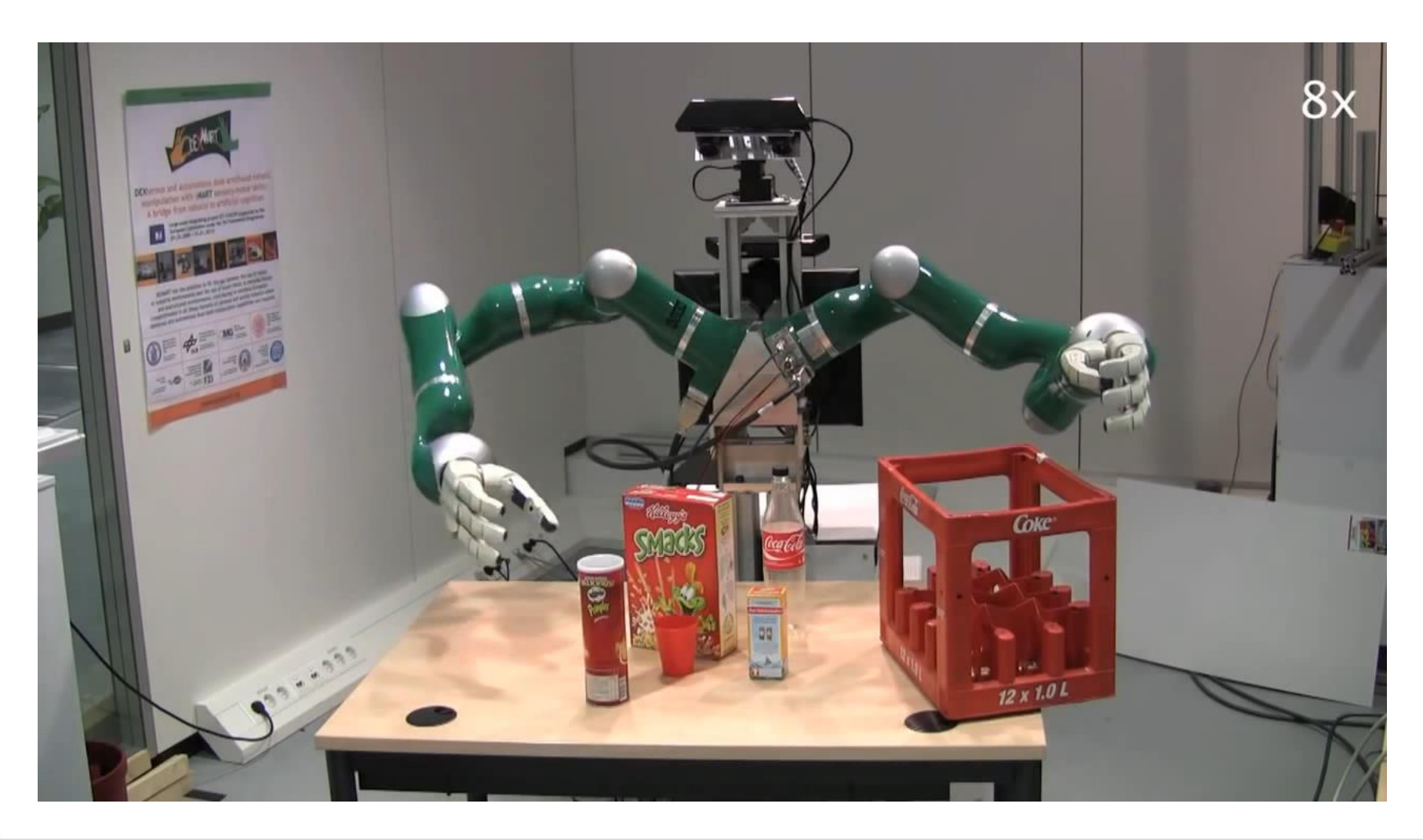


- Modelliert den visuellen Sinn des Menschen
- Basiert auf Halbleiter-Kameras und Laser-Scanner
- Erlaubt reichhaltige sensorische Information
 - Farbe
 - Merkmale
 - Strukturen
 - Relationen
 - Textur
 - Bewegungen, Handlungen
- Für den Menschen einfach nachvollziehbar



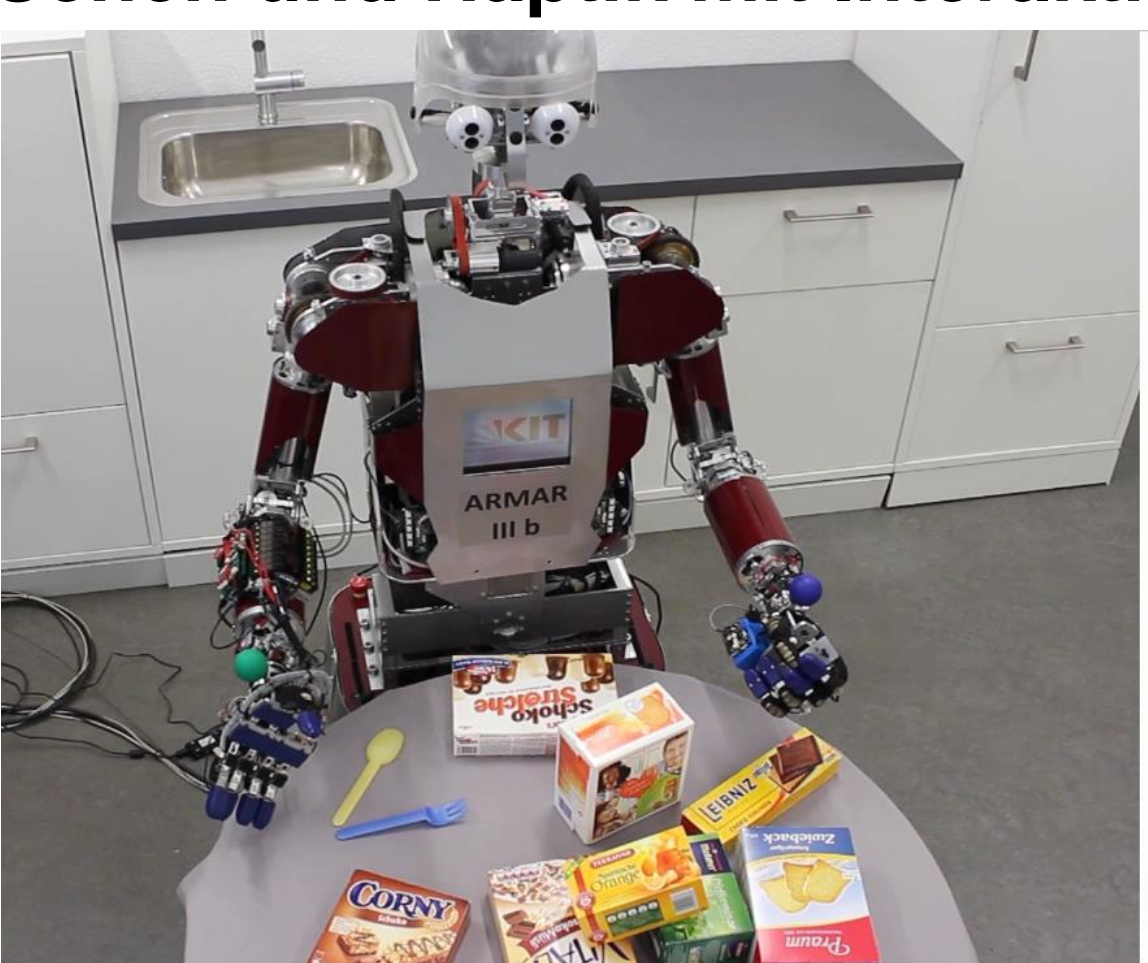
Visuelle Szenenerfassung





Kombination von maschinellem Sehen und Haptik mit Interaktionen





Initial object hypotheses

Generate hypotheses based on Color, Geometric primitives and Saliency

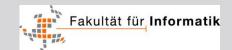
Hypothesis 49 is chosen for verification by pushing







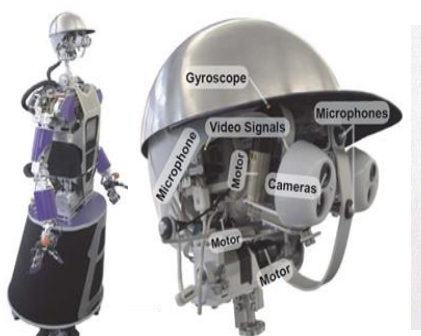
ICRA 2012, 2014, Humanoids 2011, 2012, Adaptive Behavior 2013



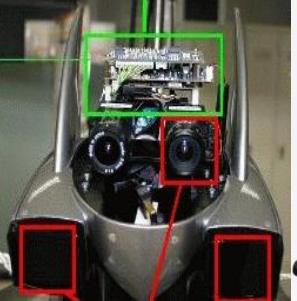
Probleme bei der visuellen Datenverarbeitung



- Humanoid robot embodiment restrictions
 - Limited camera size
 - Complex perturbations
 - Extensive requirements

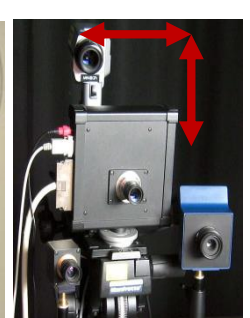




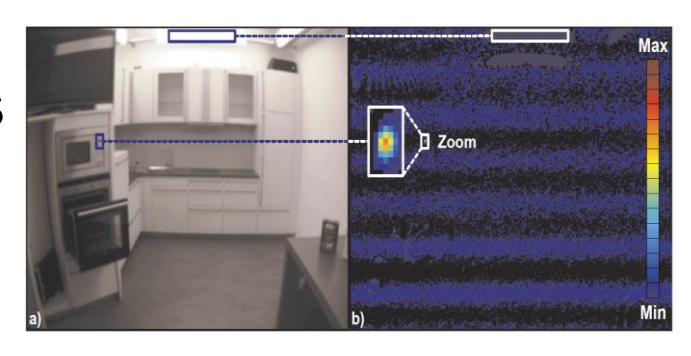








- Environmental adverse conditions
 - Lighting flickering
 - Dynamic day lighting
 - Complex materials/structures



Kritischer Aspekte zur visuellen Kognition



- Humanoid robots
 - Self-localization
 - Thompson et al. 2005
 - Stasse et al. 2006
 - Environmental object recognition
 - Okada et al. 2008
 - Yokoi et al. 2011
- Computer vision
 - Radiometric calibration
 - Debevec et al. 2001
 - Krawczyk et al. 2007
 - Edge extraction
 - Grigorescu et al. 2003
 - Visual Feature Matching
 - Fang Huang et al. 2010



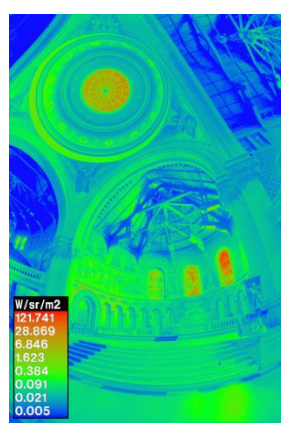












Grundprinzip: Programmieren durch Vormachen



- A human demonstrates a task naturally, incorporating all implicit and explicit domain knowledge
- The demonstration is observed by sensors and robot task knowledge is generated from that data



Specific PbD methodology





Beispiele sensorischer Bewegungserfassungssysteme



- Object Modeling Center
 - Generation of high-precision, textured 3D-models
- PbD-Dome
 - Observation of human during manipulation
- Vicon Tracking System



PbD-Dome



Object Modeling Center

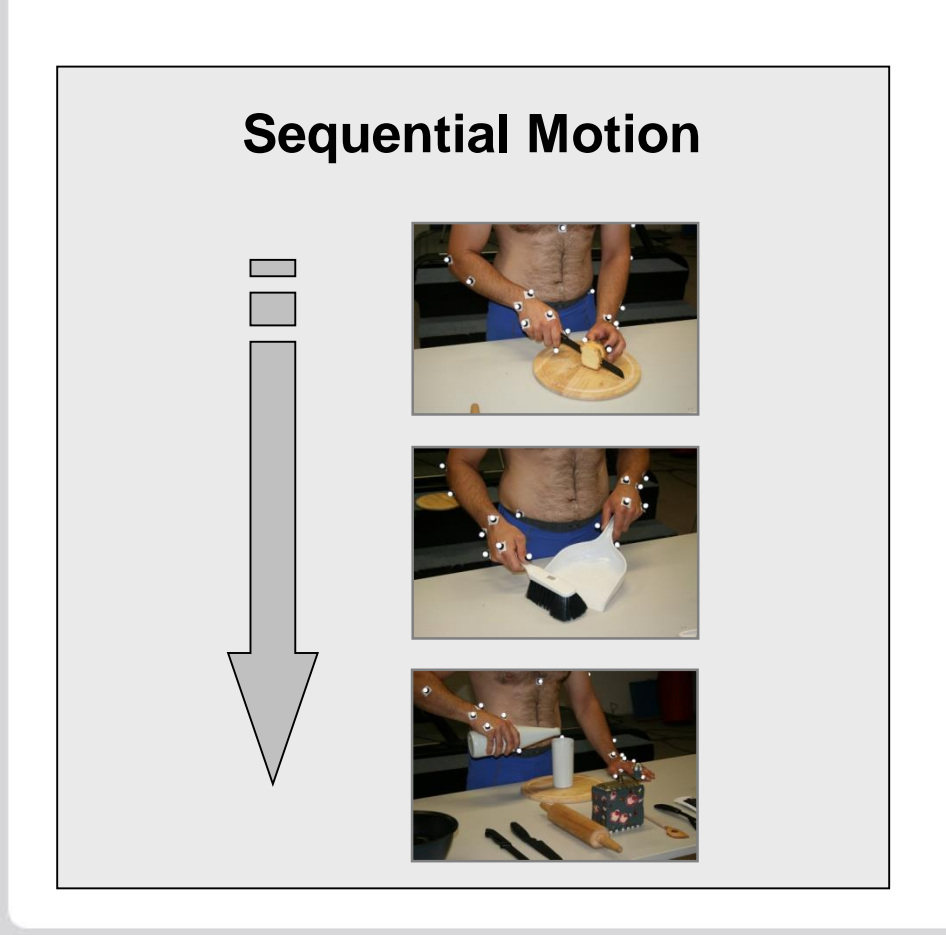


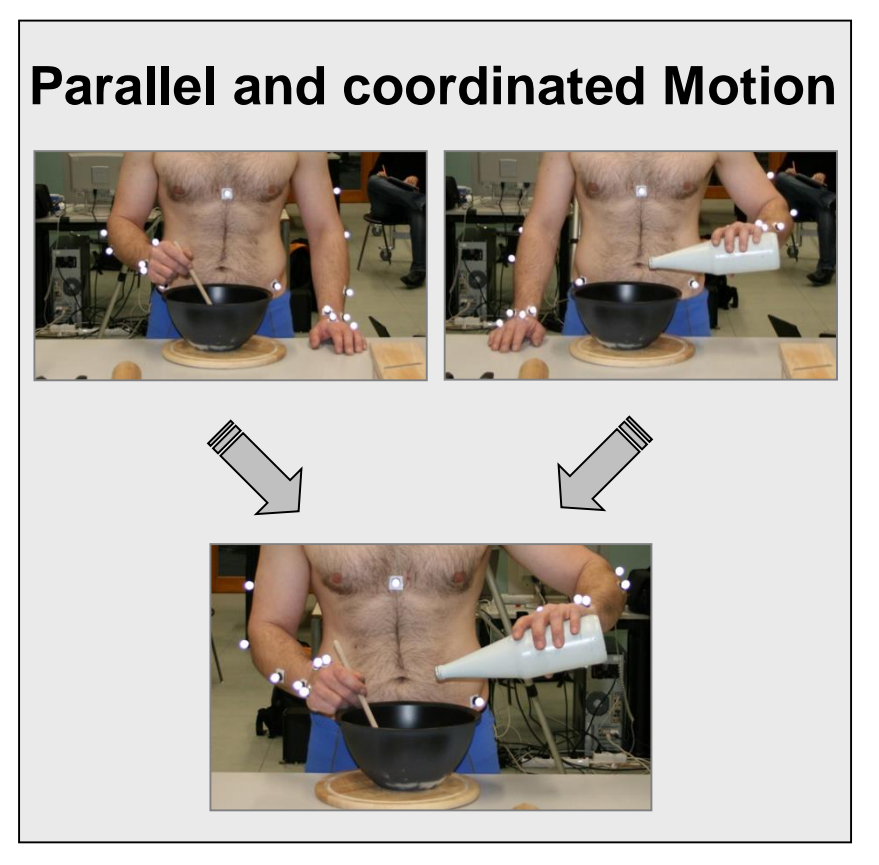
Vicon Tracking System



Bewegungserfassung und Aufzeichnung von Handlungen





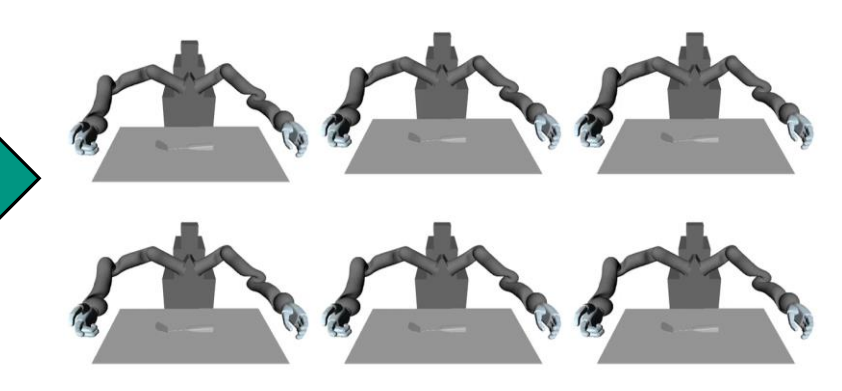


Aufzeichnung und Repräsentation von Handlungen





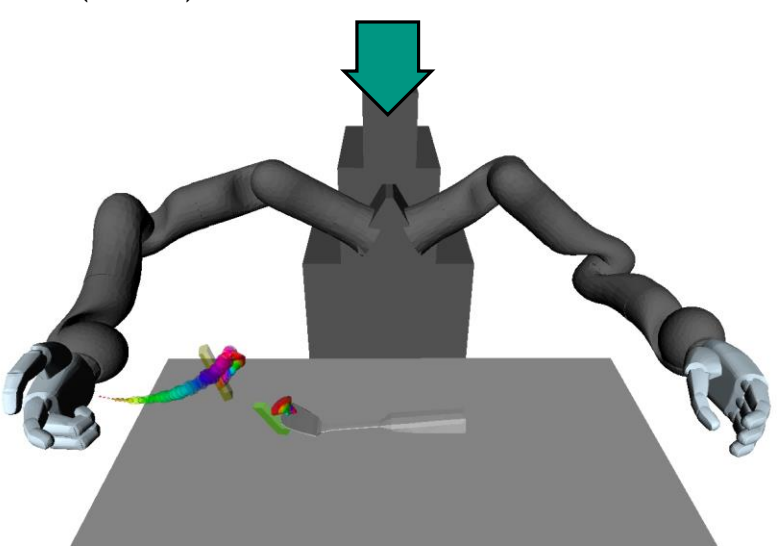
Human demonstrations



(Semi-)Automatic constraint selection



Execution using 2D-vision to localize objects

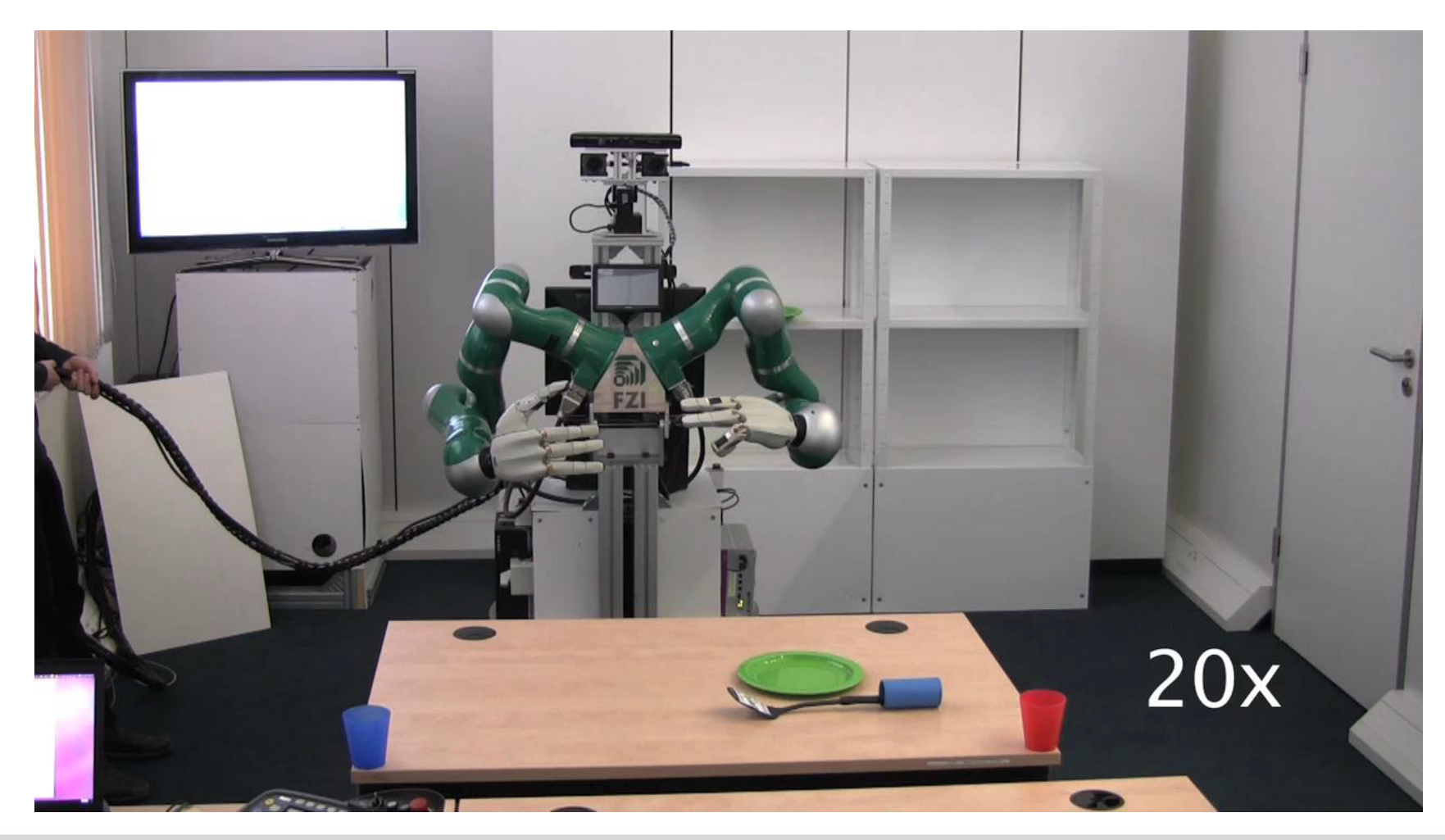


Automatic constraint optimization



Ausführung beobachteter und gelernter Handlungen





Lernen von Ganzkörperbewegungen





https://motion-database.humanoids.kit.edu/

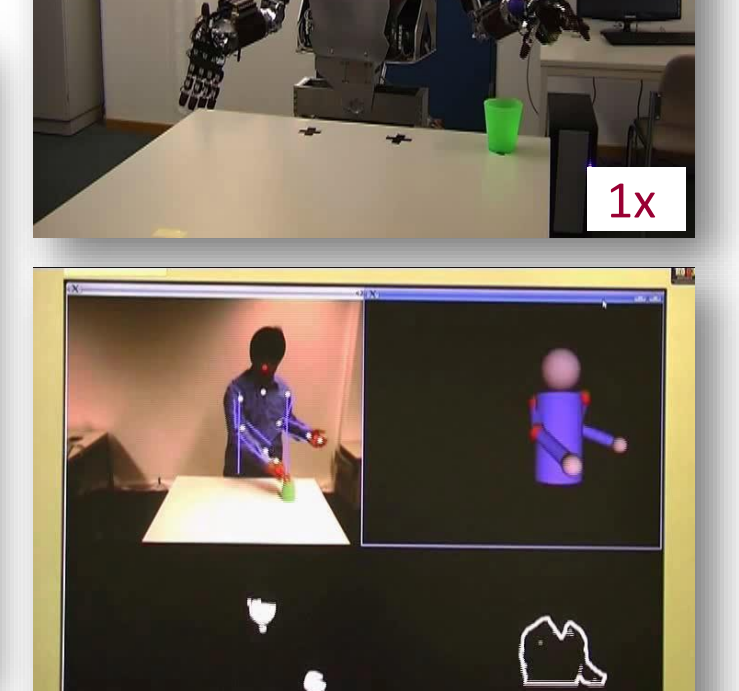


Lernen aus Beobachtungen



- Building a library of motion primitives
- Dynamic movement primitives (DMP) for discrete and periodic movements





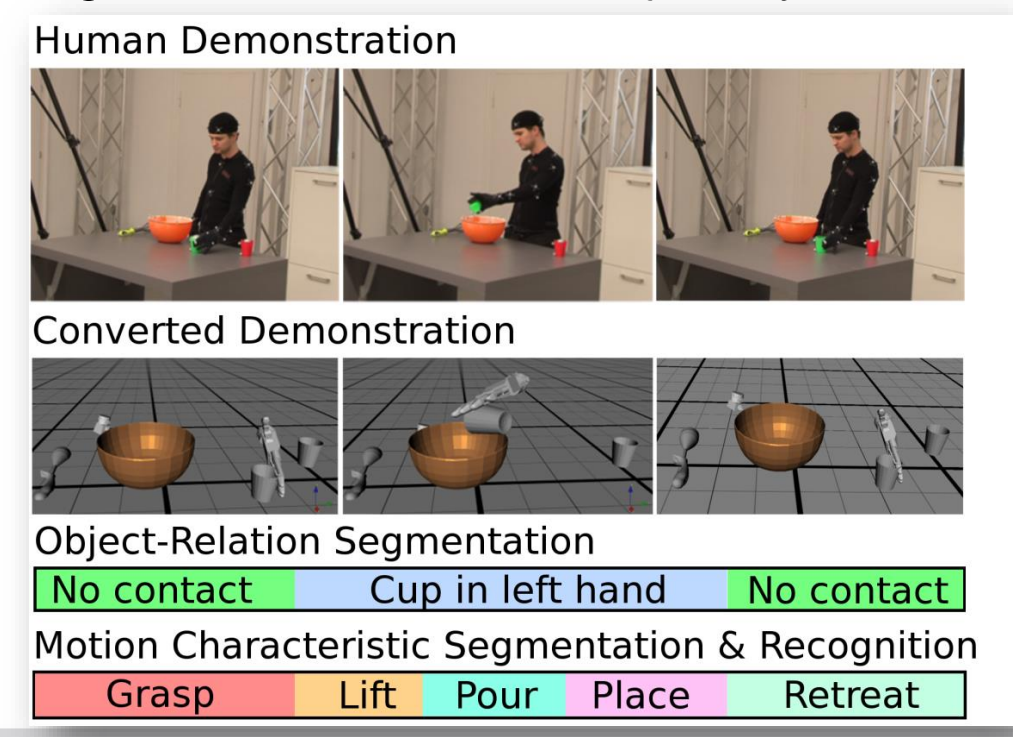
Humanoids 2006, IJHR 2008, Humanoids 2007, ICRA 2009, Humanoids 2009, TRO 2010, Humanoids 2012, IROS 2013, RAS 2015



Verstehen von Handlungen



- Hierarchical segmentation approach which not only considers motion but also relevant objects
 - Semantic segmentation based on object relation
 - Motion segmentation based on trajectory characteristics

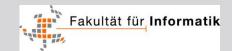


Segmentierung von Handlungen



Observation, Representation and Segmentation of preparing batter

Based on Geometrical Simulation & Object Contact Relation Changes



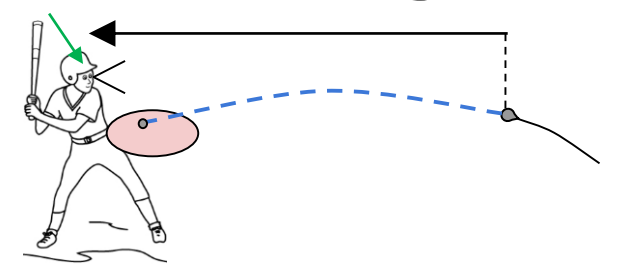
Lernen aus Beobachtungen



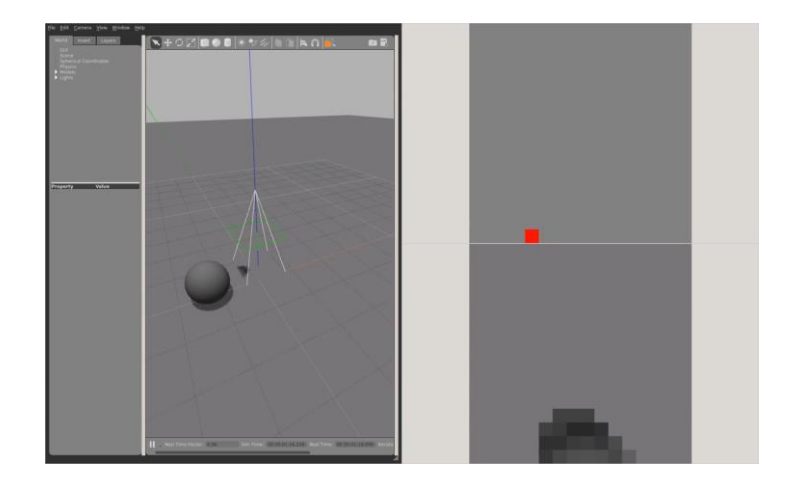


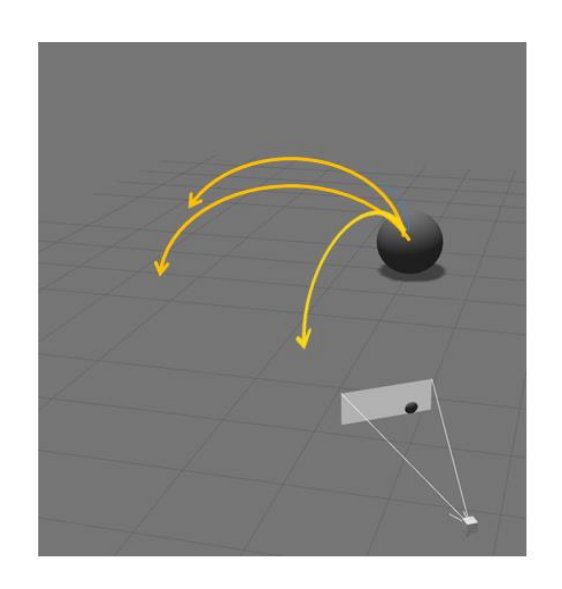
Beobachtung und Prädiktion





- "Where is the object and where will it be next?"
 - Detection of motion / Saliency
 - Optical flow
 - Localization
- Input data:
 - Address events (DVS-Camera)
- Output:
 - Prediction of future address events
 - 3D ball position
- Neural candidate:
 - Liquid State machines

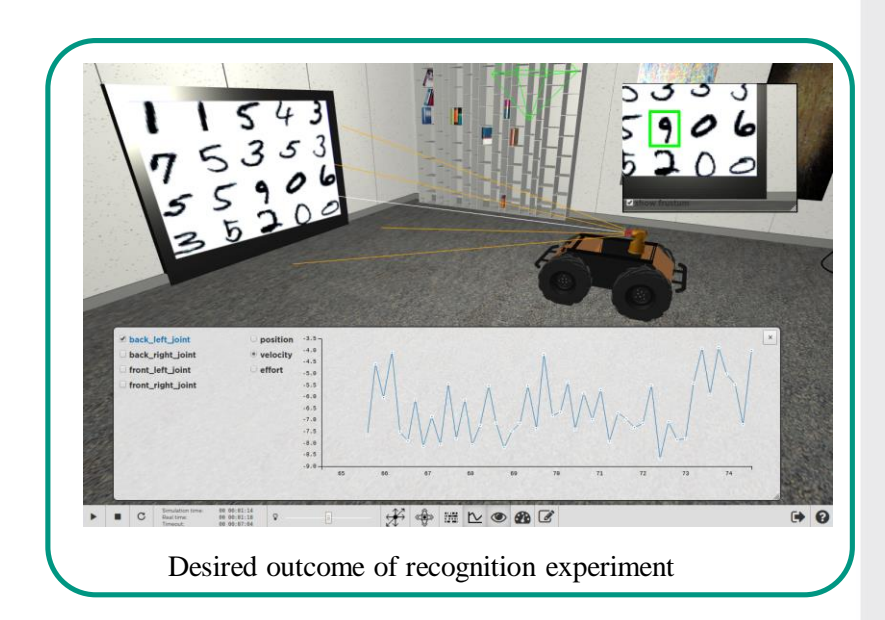


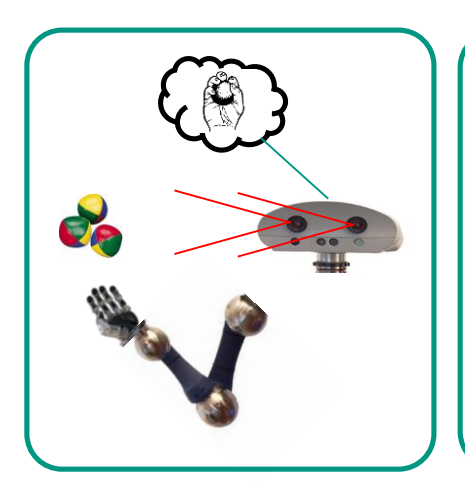


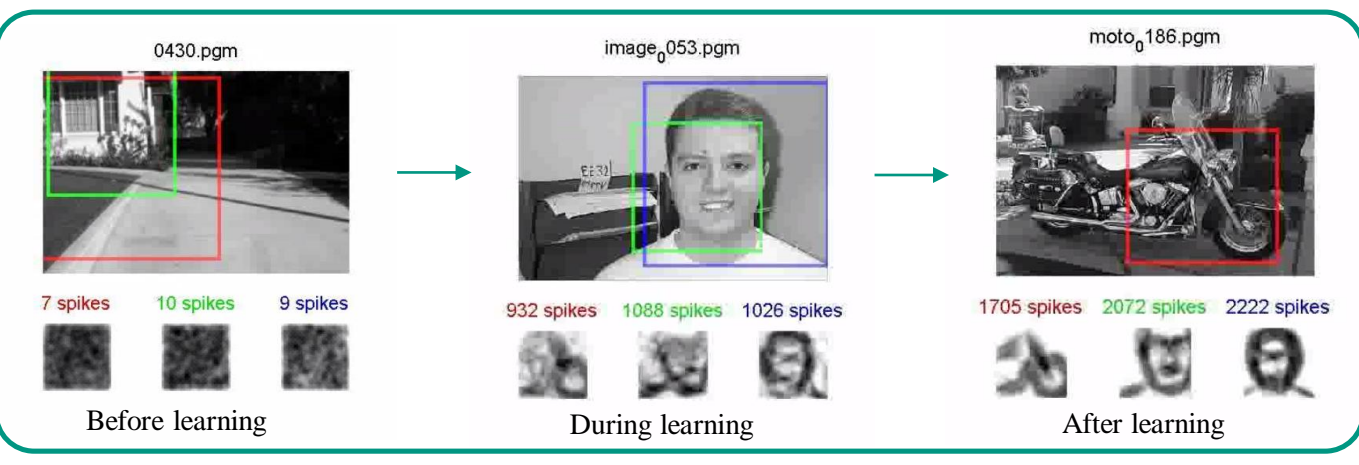


Visuelle Deutung und Objektklassifikation in Institute of Technology

- "What is the object?"
 - Object recognition
 - Prediction of affordances
- Input data:
 - Camera image stream (RGB)
 - Address events (DVS)
- Output: Grasp type, Object name, Object location, ...
- Neural candidates:
 - Spiking Convolutional Restricted Boltzmann Machine
 - HMAX



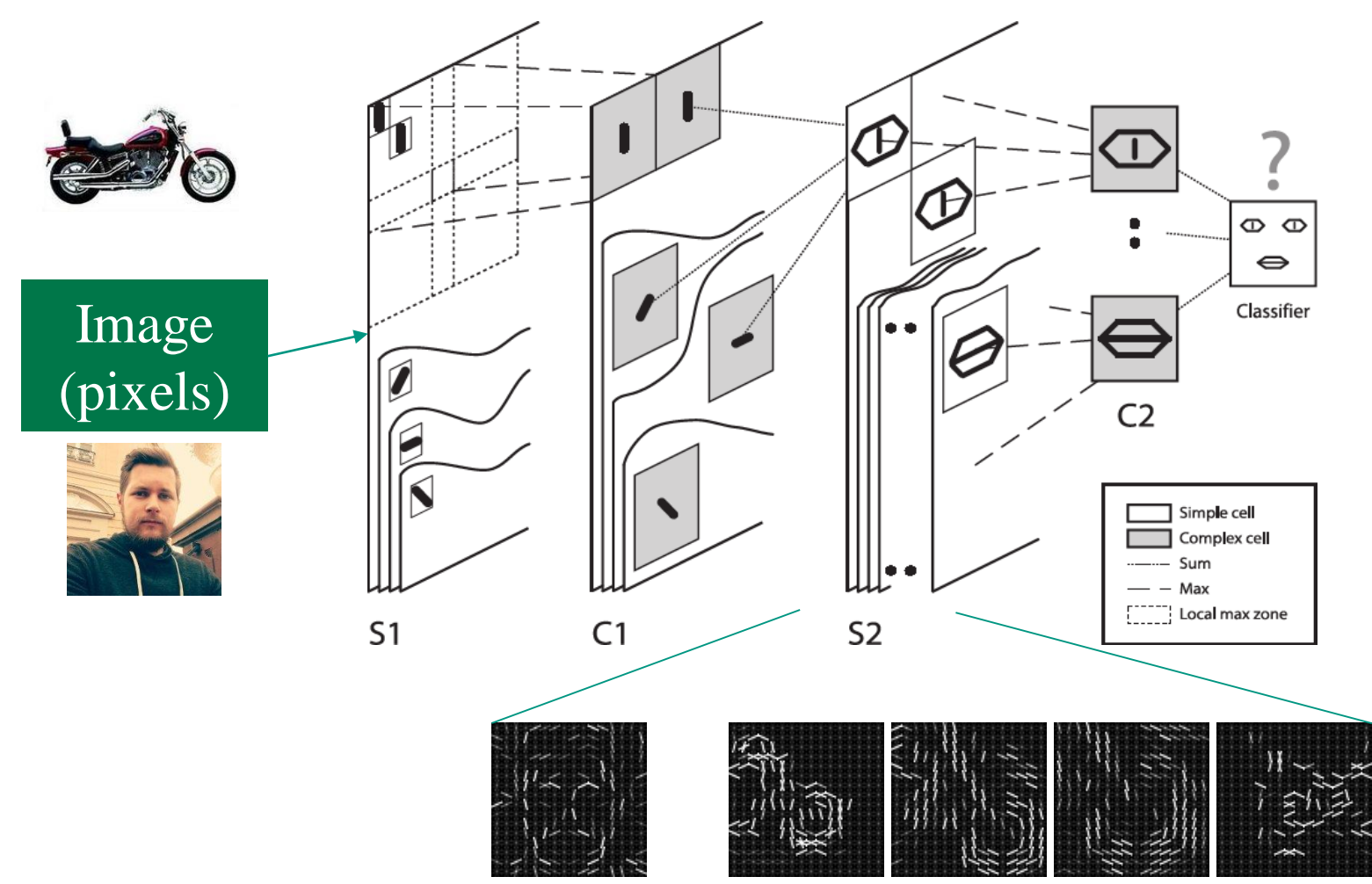




Masquilier T, Thorpe 2007

Lernen visueller Merkmale mit Hilfe von Faltungsnetzen (convolutional networks)

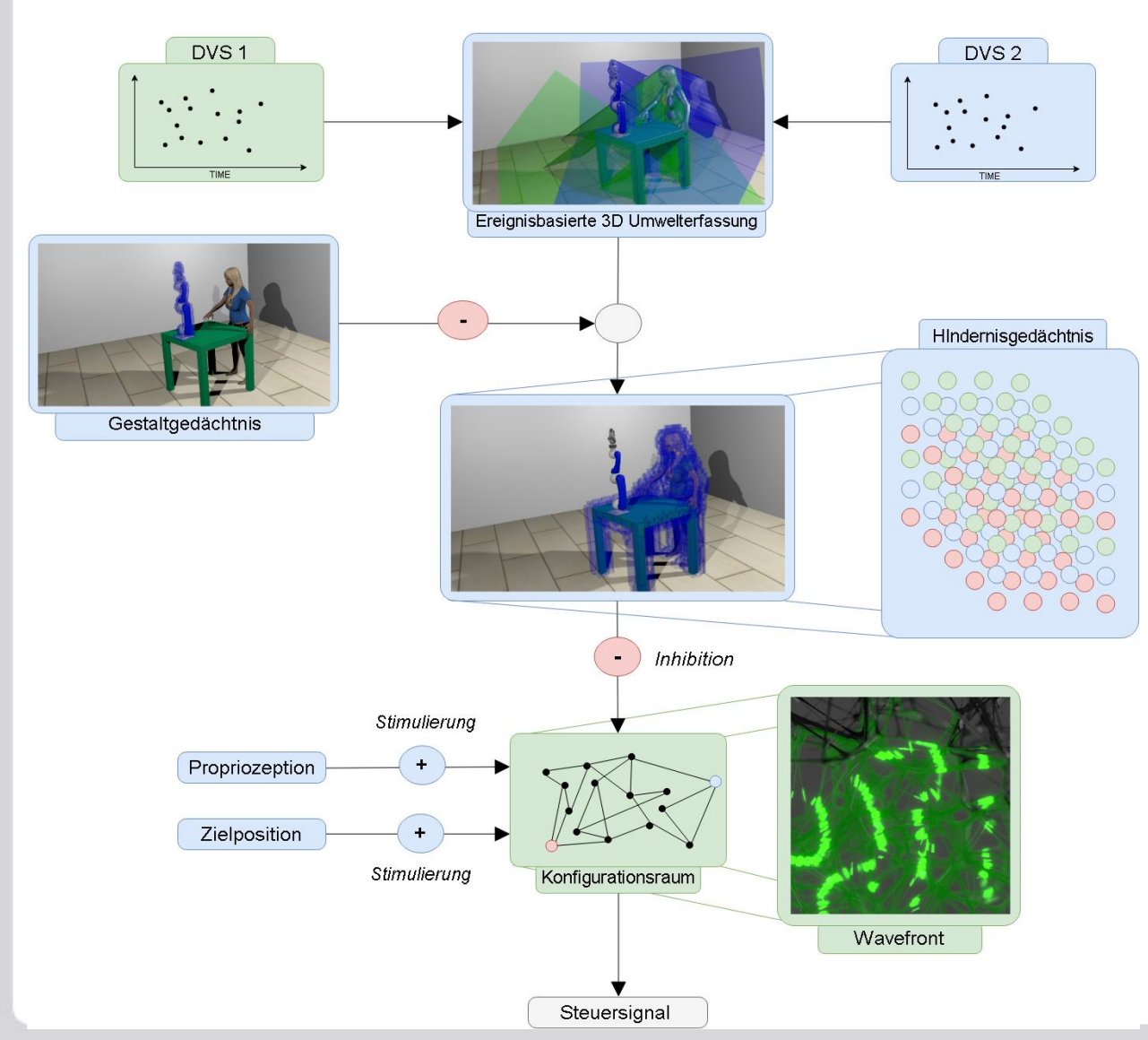




Architecture from Masquilier T, Thorpe 2007

Motion Planning



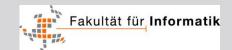


- 3D dynamic vision
 - From stereoscopic DVS
- Active occupancy memory (grid)
 - Sensing robot
 - Sensing obstacles
 - Wavefront planning and control in configuration space
 - Occupancy memory works together with learnt body schema to prohibit planning wave traveling through configurations resulting in collision

Heutige Vorlesung:



- Bilderzeugung
 - Analoge Kameras
 - Digitalel Kameras
- Bildrepräsentation
 - Graustufenbilder, Farbbilder, Pixelarrays
 - Konvertierung von Farbräumen
- Lochkameramodell
- Homogene Punktoperatoren (affine, nicht-affine)
- Farb Histogramme zur Charakterisierung digitaler Bilder
- Automatische Bildverbesserung und Kontrastanpassung

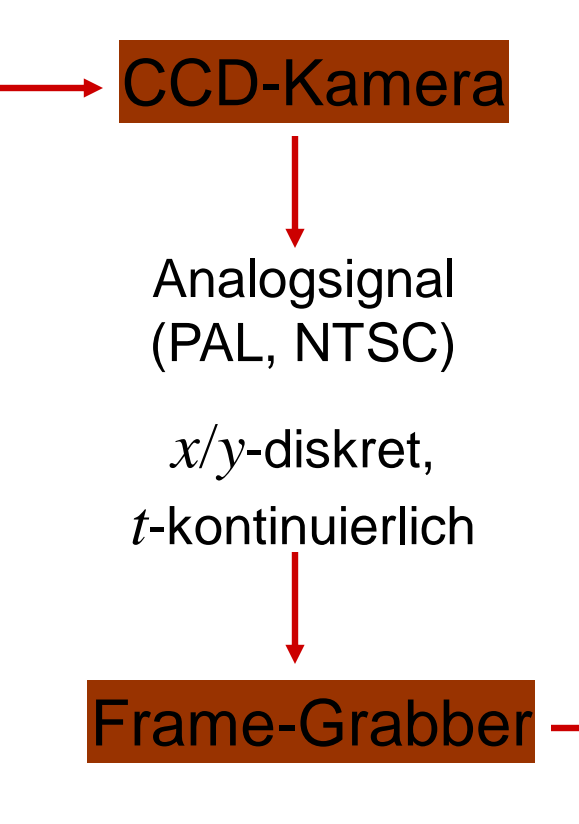


Bilderzeugung: Analoge Kameras





x/*y*-kontinuierlich





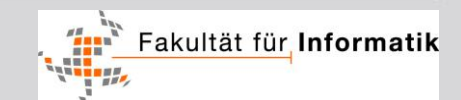
x/y-diskret



Bildgenerierung: Digitale Kameras 1



- Heute werden oftmals Digitalkameras verwendet (meist CCD, aber auch CMOS)
- Anschluss erfolgt über:
 - Firewire (IEEE1394) (inzwischen weit verbreitet)
 - USB (hauptsächlich für Webcams)
 - Camera Link
 - ...
- Kameras liefern direkt digitalisierte Bilddaten
 - Format je nach Kamera und Modus unterschiedlich
 - Bei S/W-Kameras meist 8bit Graustufen
 - Bei Farbkameras entweder als Bayer-Pattern oder meist bereits konvertiert als RGB24, YUV422, etc.



Bilderzeugung: Digitale Kameras 2



- Kameras unterscheiden sich durch:
 - Bildqualität (Qualität CCD-Chip, aber auch grundlegend: Auswahl Linse/Objektiv)
 - Graustufen- oder Farbkamera
 - Auflösung (z.B. 640×480, 1024×768, ...)
 - Bei Farbkameras: Welche Farbkodierungen sind verfügbar? (8bit, 16bit, 24bit)
 - Wichtig je nach Anwendung: Welche maximale Framerate ist bei welchem Bildformat noch verfügbar? (z.B. 15/30/60/120/200 Hz)

Bilderzeugung: Digitale Kameras 3



Beispiele



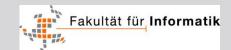
PointGrey Dragonfly Express mit CS Mount



SAC Osiris I mit CS Mount



PointGrey Dragonfly mit Microlens



Bilderzeugung: Digitale Kameras 4



Beispiele von Stereokamerasystemen mit fester Baseline



PointGrey Bumblebee mit Microlens



Videre STH-DCSG mit CS Mount



PointGrey Digiclops, drei Kameras, Microlens

Bildgenerierung: Digitalkameras V



Kameras in ARMAR-III und ARMAR-IV



PointGrey Dragonfly Kameras, extended Version, wie in ARMAR II und ARMAR III verwendet



Hals und Kopf von ARMAR III, Augeneinheit mit vier Dragonfly Kameras

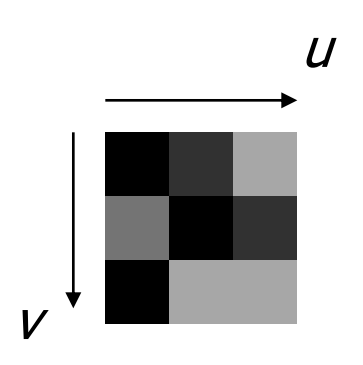






Monochrombild: Diskrete Bildfunktion

$$\operatorname{Img}: [0.m-1] \times [0.m-1] \to [0.q]$$
$$(u,v) \mapsto \operatorname{Img}(u,v)$$



Üblich:
$$q = 255$$

 $n = 640, m = 480 \text{ (VGA)}$
oder $n = 768, m = 576 \text{ (PAL)}$





Farbbild:

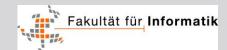
- Viele verschiedene Farbmodelle für unterschiedliche Anwendungen
- Klassifikation nach erreichbarem Farbraum

Beispiele:

- S/W ,Grauwertstufen
- RGB-Modell: speziell für Monitore (Phosphor-Kristalle), sehr üblich

$$\operatorname{Img}(u,v) \in \mathbf{R}^3 = (r,g,b)^{\mathrm{T}}$$

- HSI (Hue, Saturation, Intensity): speziell für Farbsegmentierung
- CIE: physikalisch (Wellenlänge)
- CMYK-Modell: Farbdrucker (subtraktive Farbmischung)
- YIQ: Fernsehermodell



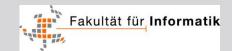
Bildrepräsentation 3: RGB-Modell



Img:
$$[0..n-1] \times [0..m-1] \rightarrow$$

 $[0..R] \times [0..G] \times [0..B]$
 $(u,v) \mapsto \operatorname{Img}(u,v) = (r,g,b)$

- Additive Farbmischung
- Drei Farbwerte: Rot, Grün, Blau oft: 256×256×256 Nuancen (R=G=B=255, 8 Bit, "RGB24") =16,8 Mio. Farben
- Oft verwendet von Kamera-Treibern



Bildrepräsentation 4: HSI-Modell



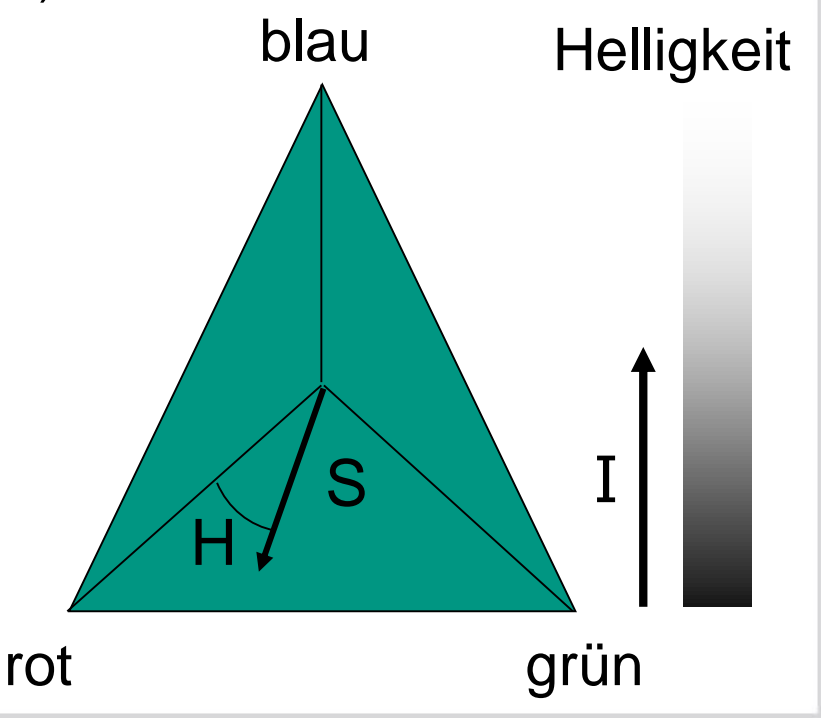
- Hue (Farbnuance), Saturation (Sättigung), Intensity (Helligkeit)
- Trennt Helligkeit vom Farbwert ⇒ unempfindlich gegen Beleuchtungsänderungen
- Umrechnung von RGB nach HSI (falls R = G = B, dann ist H undefiniert; falls R = G = B = 0, dann ist S undefiniert):

$$c = \arccos \frac{2R - G - B}{2\sqrt{(R - G)^2 + (R - B)(G - B)}}$$

$$H = \begin{cases} c & \text{falls B } < G \\ 360^\circ - c & \text{sonst} \end{cases}$$

$$S = 1 - \frac{3}{R + G + B} \min(R, G, B)$$

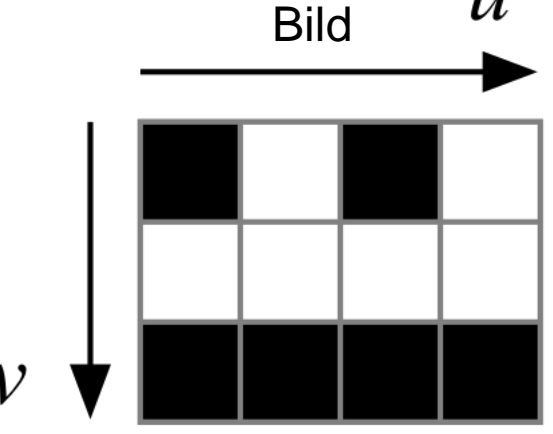
$$I = \frac{1}{3}(R + G + B)$$

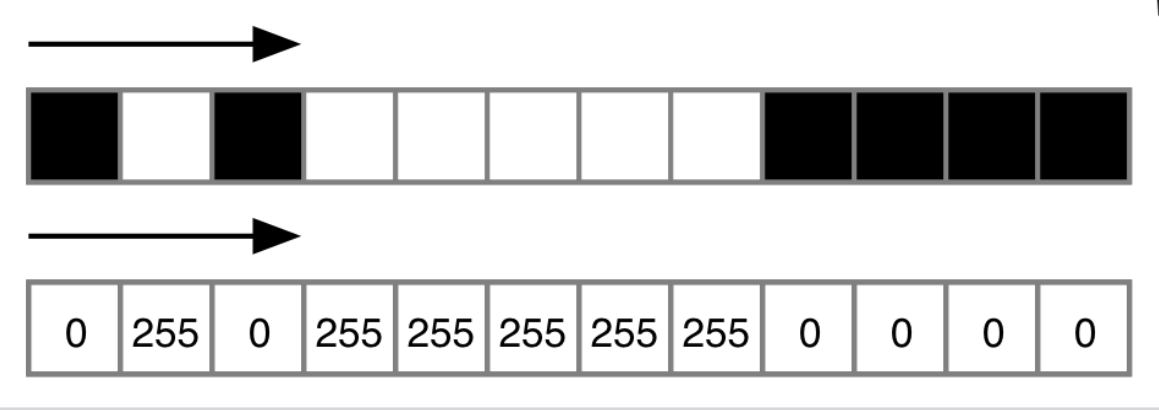


Bildrepräsentation 5



- Hinterlegung eines 8bit Graustufen-Bildes im Speicher
 - Pixel werden zeilenweise, von oben links nach unten rechts, linear abgelegt (Achtung: z.B. bei Bitmaps von unten links nach oben rechts)
 - Graustufen-Kodierung:
 - Ein Byte pro Pixel
 - 0 schwarz, 255 weiß, dazwischen Graustufen





zeilenweise "aufgerollt"

Hinterlegung im Speicher

Bildrepräsentation 6

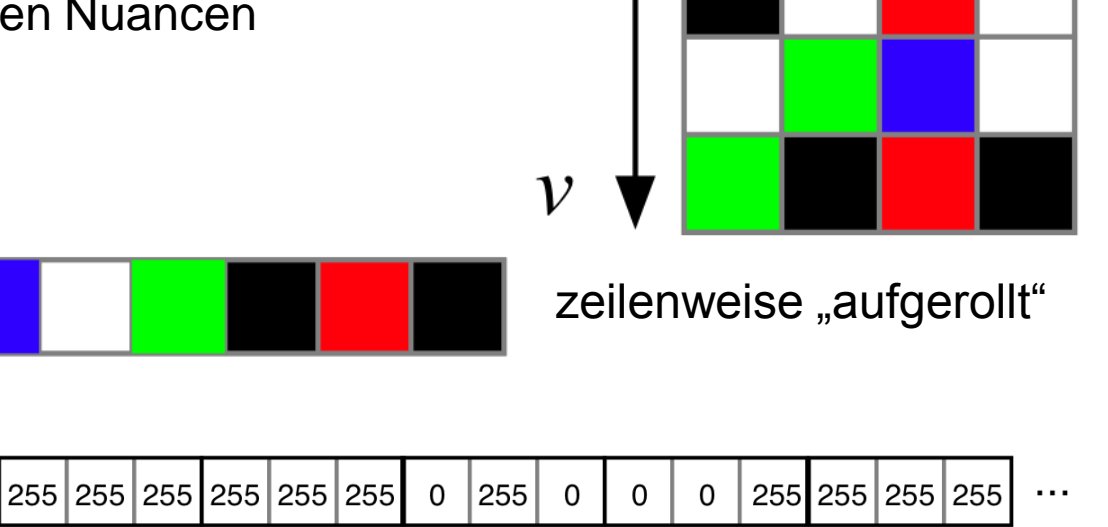


- Hinterlegung eines RGB24 Farbbildes im Speicher
 - Pixel werden zeilenweise, wie beim Graustufen-Bild, abgelegt

Grundlagen Bildverarbeitung

- Farbkodierung:
 - Drei Bytes pro Pixel
 - Für jeden Kanal gilt: 0 minimale, 255 maximale Intensität; dazwischen Nuancen

0



Hinterlegung im Speicher

Bild



255 255 255 255

Grauwert-Transformation

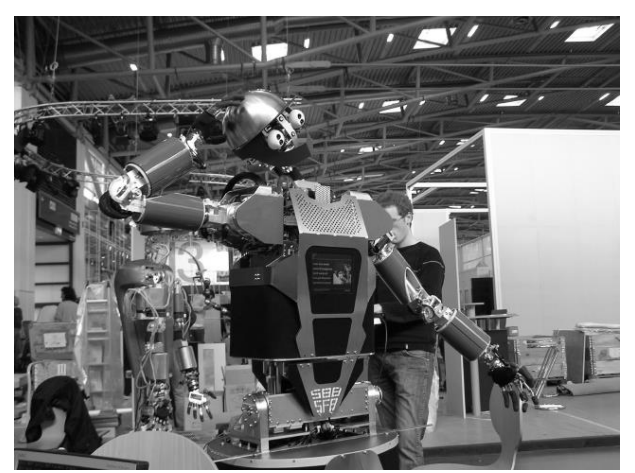


- Transformation von RGB24 nach 8bit Graustufen
 - Eine Möglichkeit: g = (R + G + B) / 3
 - Aber: Menschliches Auge ist am empfindlichsten gegenüber der Farbe Grün, ...
 - Üblicherweise wird deshalb verwendet:

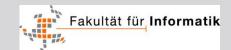
$$g = 0.299 \cdot R + 0.587 \cdot G + 0.114 \cdot B$$



Farbbild



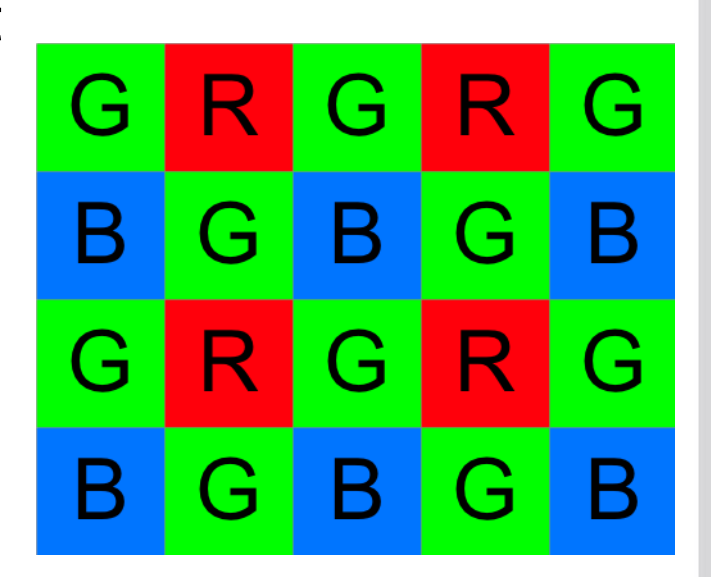
Graustufenbild



Bayer-Pattern



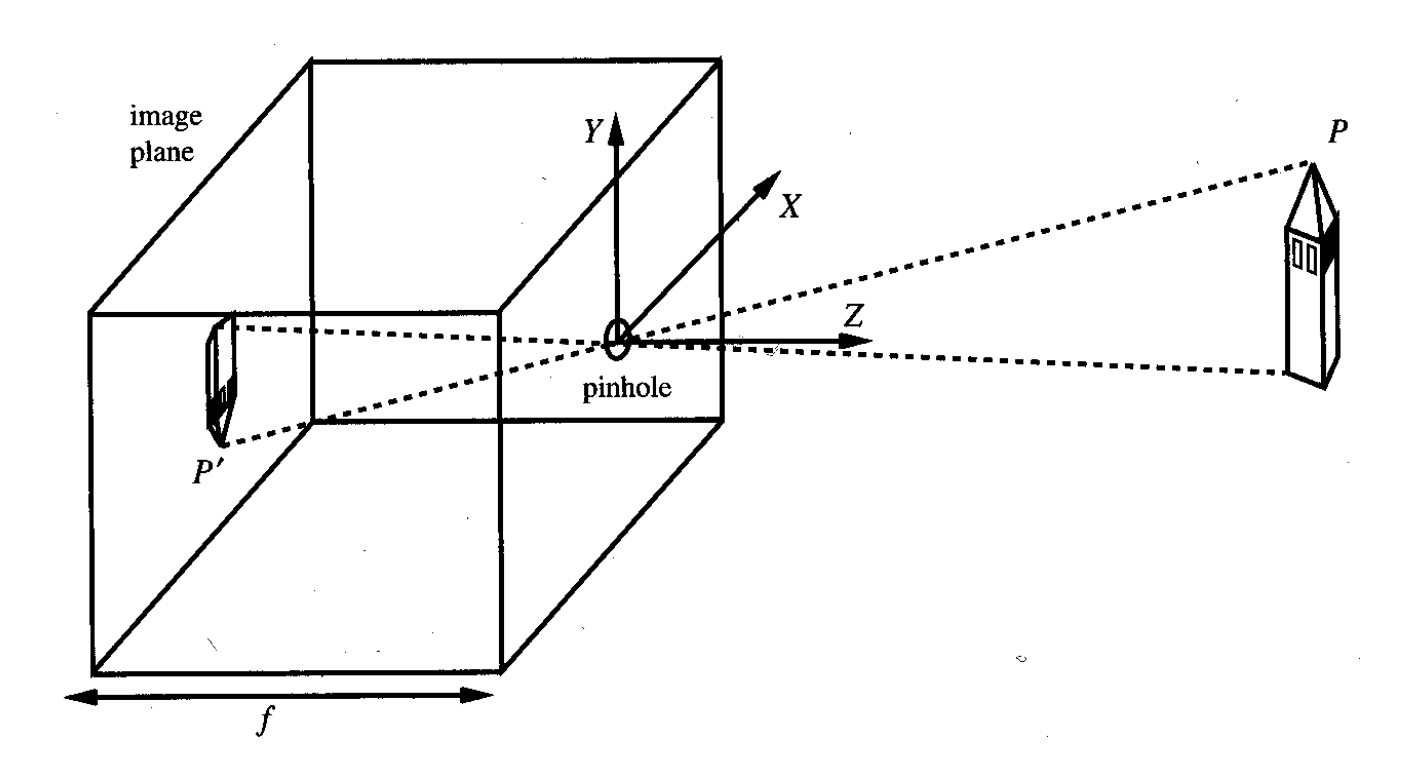
- Sehr hochwertige Kameras, wie z.B. zum Filmen verwendet, besitzen drei Chips pro Pixel
- Die meisten Farbkameras haben einen Chip pro Pixel, der gegenüber der Farbe Rot, Grün oder Blau empfindlich ist
- Bei "Ein-Chip-Kameras" wird meist das Bayer-Pattern verwendet
 - Um nach RGB24 zu konvertieren, muss interpoliert werden
 - Die Empfindlichkeit einer Ein-Chip-Kamera ist um Faktor 3 niedriger als die einer reinen Graustufen-Kamera!



Bilderzeugung: Lochkamera 1



Einfachstes Modell auf Basis linearer Strahlenoptik : Lochkameramodell



Interner Parameter: Brennweite f ("Fokalabstand")



Bildgenerierung: Lochkamera 2



Projektion eines Szenenpunktes P = (X, Y, Z) auf einen Bildpunkt p = (u, v, w):

$$\frac{-u}{f} = \frac{X}{Z}, \frac{-v}{f} = \frac{Y}{Z}, w = -f \Rightarrow \qquad X = -\frac{uZ}{f}, Y = -\frac{vZ}{f}$$

$$(u) \quad (u) \quad (X) \qquad \text{Rückprojektion}$$

$$p = \begin{pmatrix} u \\ v \\ w \end{pmatrix} = \begin{pmatrix} u \\ v \\ -f \end{pmatrix} = -\frac{f}{Z} \begin{pmatrix} X \\ Y \\ Z \end{pmatrix} = -\frac{f}{Z} P$$

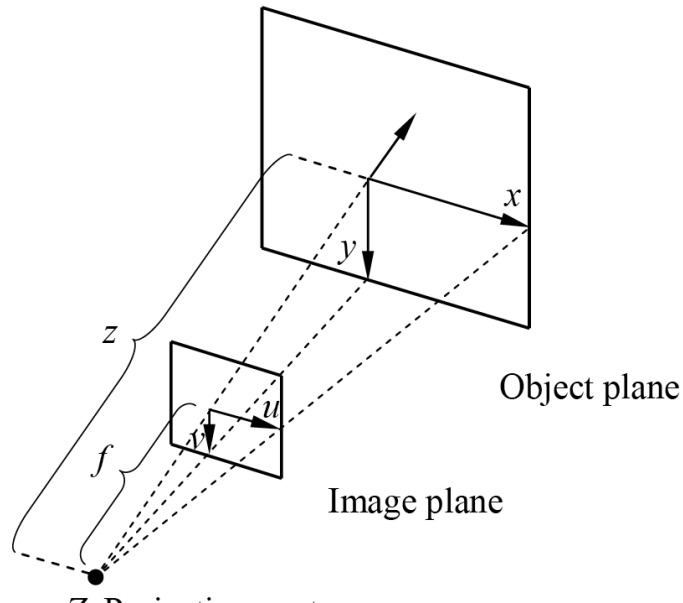
Perspektivprojektion

Bei der Projektion geht die Z-Komponente verloren!

Bildgenerierung: Lochkamera 3



- Oft verwendete Variante: Lochkameramodell in Positivlage:
 - Projektionszentrum C liegt hinter der Bildebene
 - Dadurch: keine Spiegelung (Minuszeichen entfallen)



Z, Projection center





Bildverarbeitung



Bildverarbeitung: Grundoperationen



- Homogene Punktoperatoren
- Histogrammauswertung
- Filterung
- Geometrische Operationen

Unterdrückung von Störungen "Verschönern" von Bildern Verformen von Bildern



Homogene Punktoperatoren



- Anwendung: $\operatorname{Img}'(u,v) = f(\operatorname{Img}(u,v))$
- Unabhängig von der Position bzw. den Nachbarn des Pixels
- Implementierung der Funktion f oftmals als Look-Up-Table (Hardware)





$$f:[0..q] \rightarrow [0..q]$$

$$x \mapsto ax + b$$

Parameter a und b legen die Funktion fest.

Anwendungen:

- Kontrasterhöhung / -verminderung
- Helligkeitserhöhung / -verminderung
- Invertierung
- und Kombinationen



Algorithmus für die Anwendung eines affinen Punktoperators

Algorithmus 8 AffinePunktoperation $(I, a, b) \rightarrow I'$

for all pixels
$$(u, v)$$
 in I do $g := \text{round}(a \cdot I(u, v) + b)$
$$I'(u, v) := \begin{cases} 0 & \text{falls } g < 0 \\ q & \text{falls } g > q \\ g & \text{sonst} \end{cases}$$
 end for

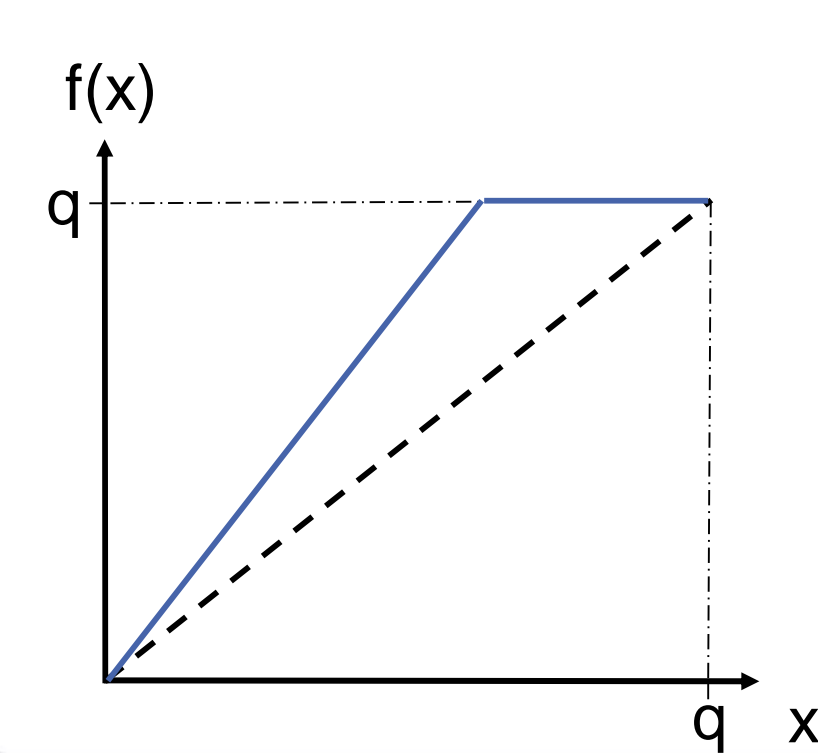


Kontrasterhöhung:

$$b = 0; a > 1$$

Original

Beispiel: f(x) = 2x







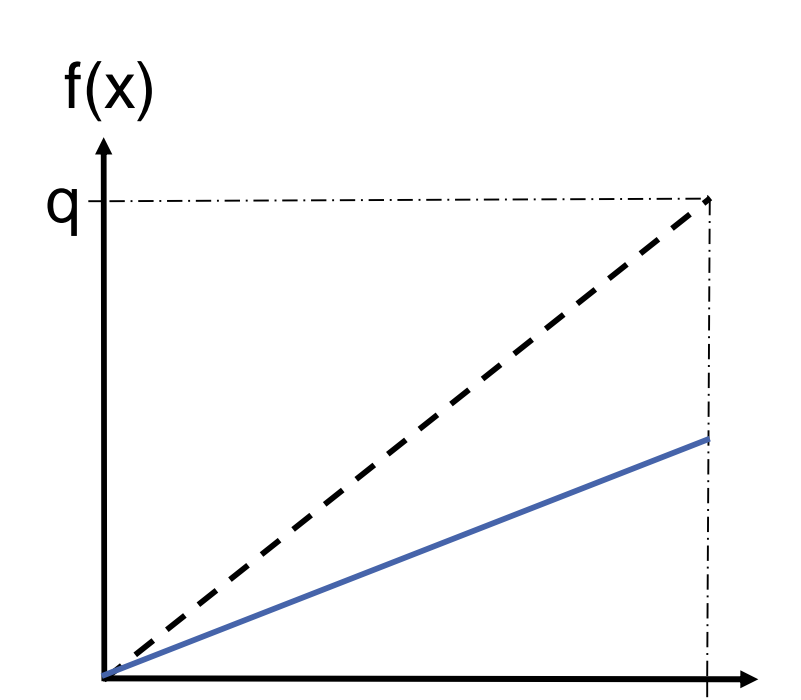


Kontrastverminderung:

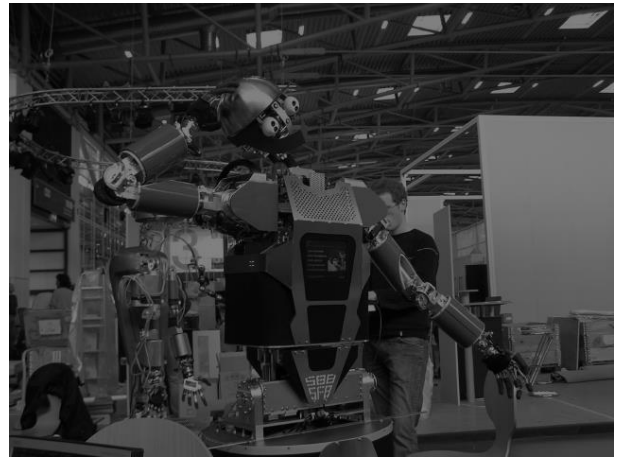
$$b = 0$$
; $a < 1$

Original

Beispiel: f(x) = 0.5x









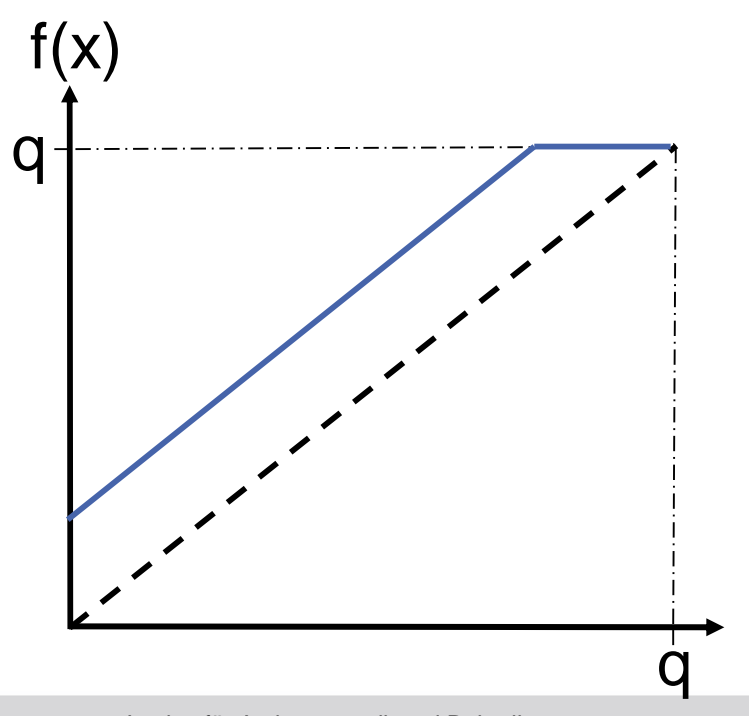
Helligkeitserhöhung:

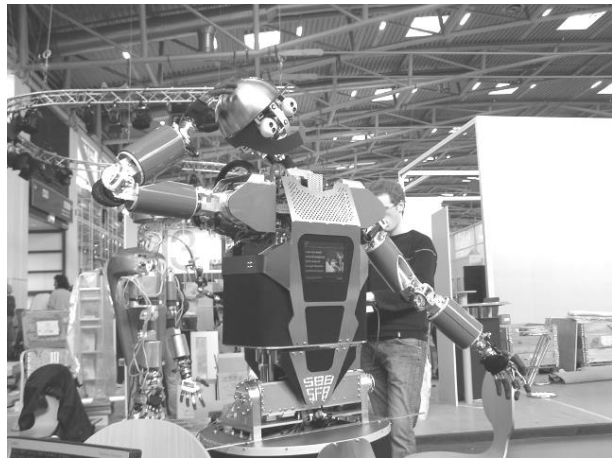
$$b > 0$$
; $a = 1$

Original

Beispiel: f(x) = x + 50







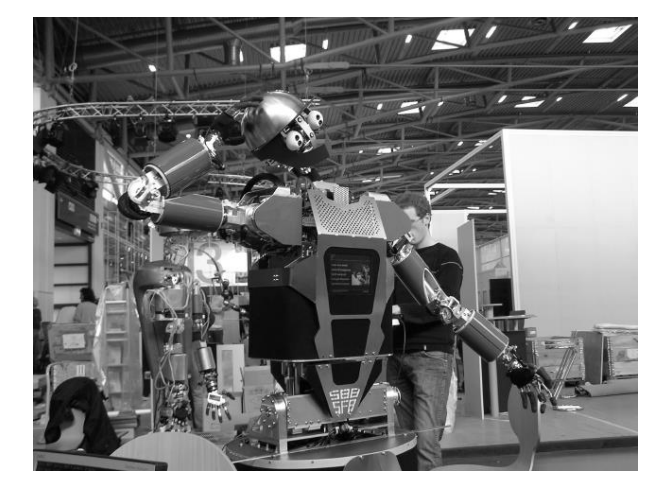


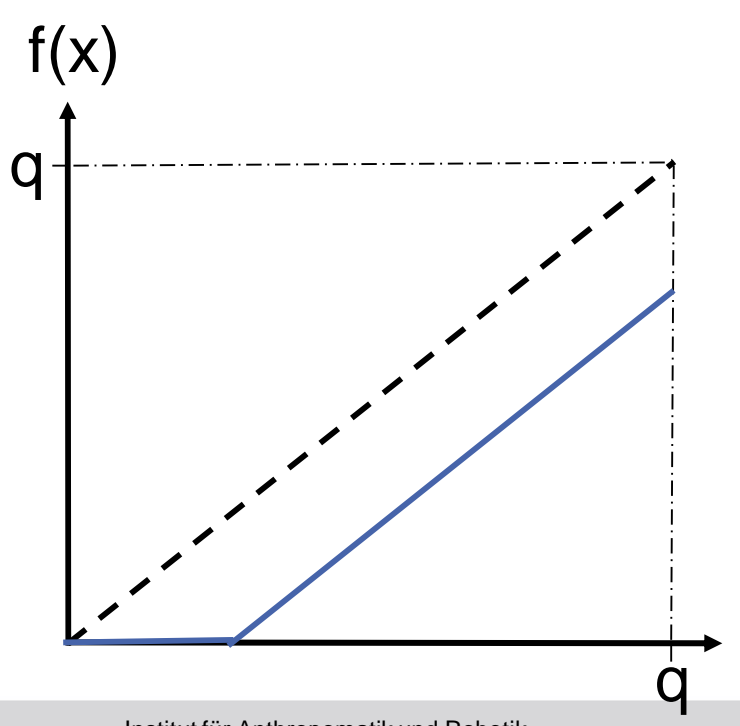
Helligkeitsverminderung:

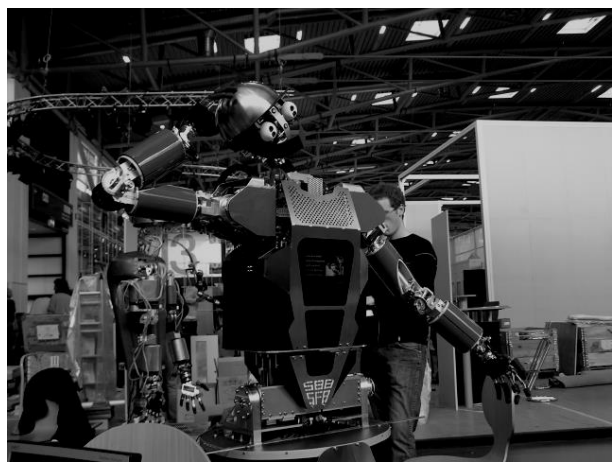
$$b < 0$$
; $a = 1$

Original

Beispiel: f(x) = x - 50





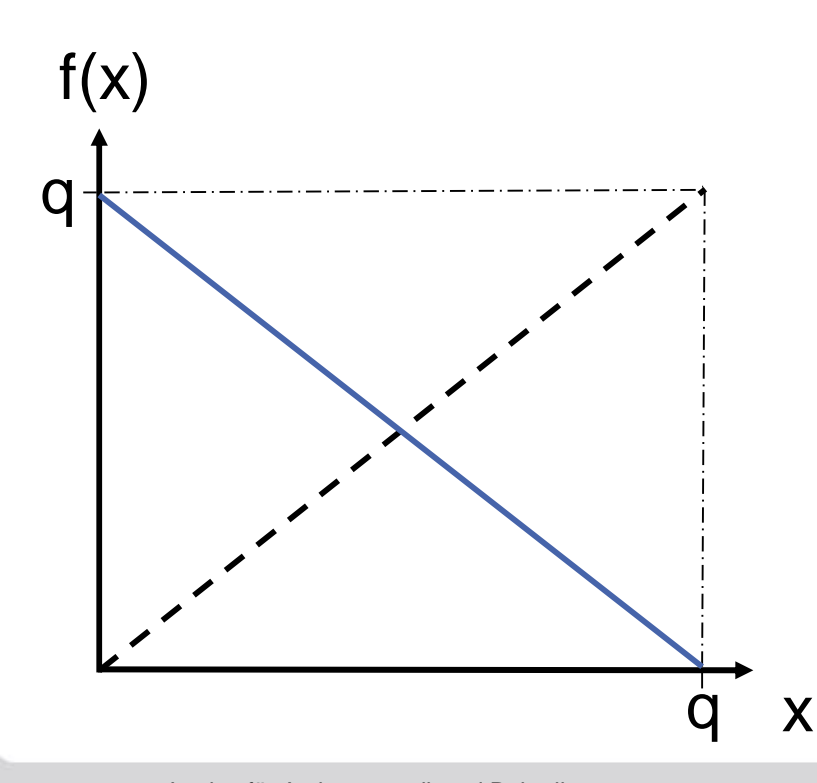




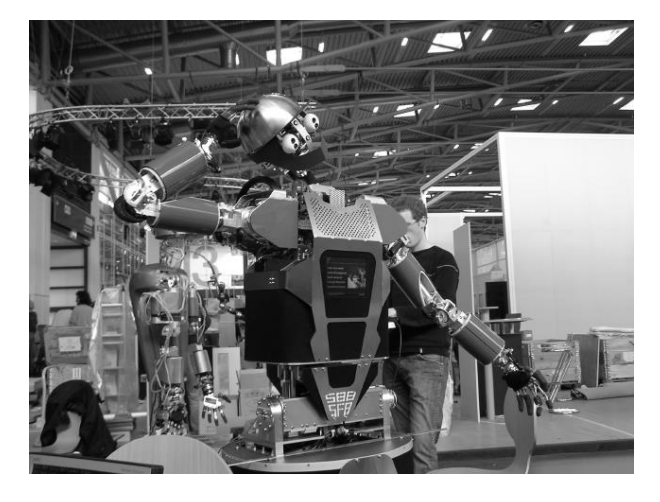
Invertierung:

$$b = q; a = -1$$

Beispiel: f(x) = -x + q



Original



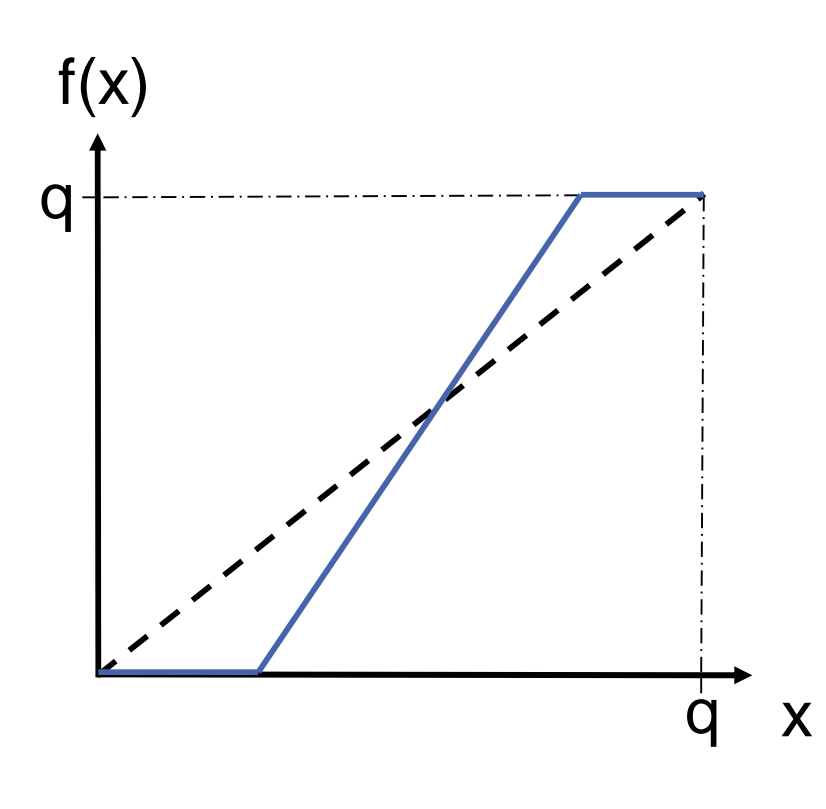


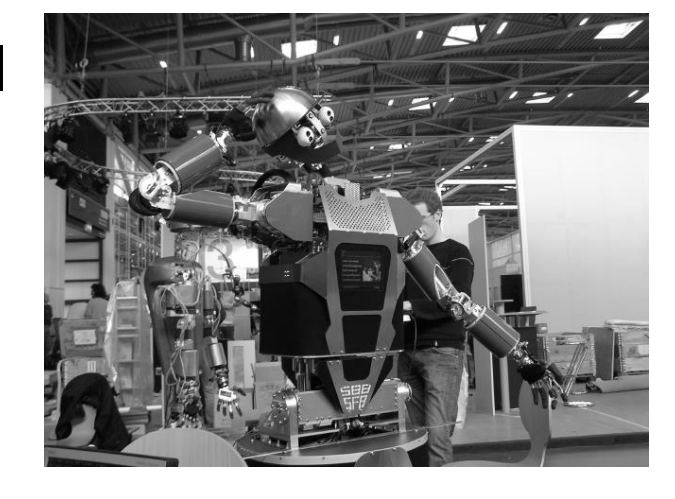


Kombinationen:

Original

Beispiel: f(x) = 2x - 50





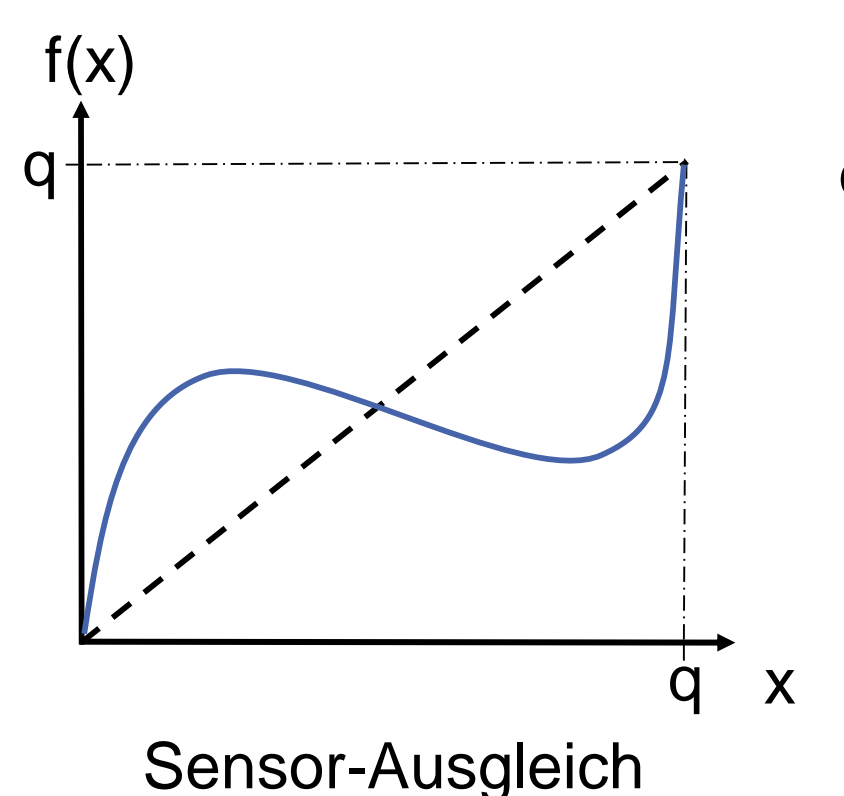


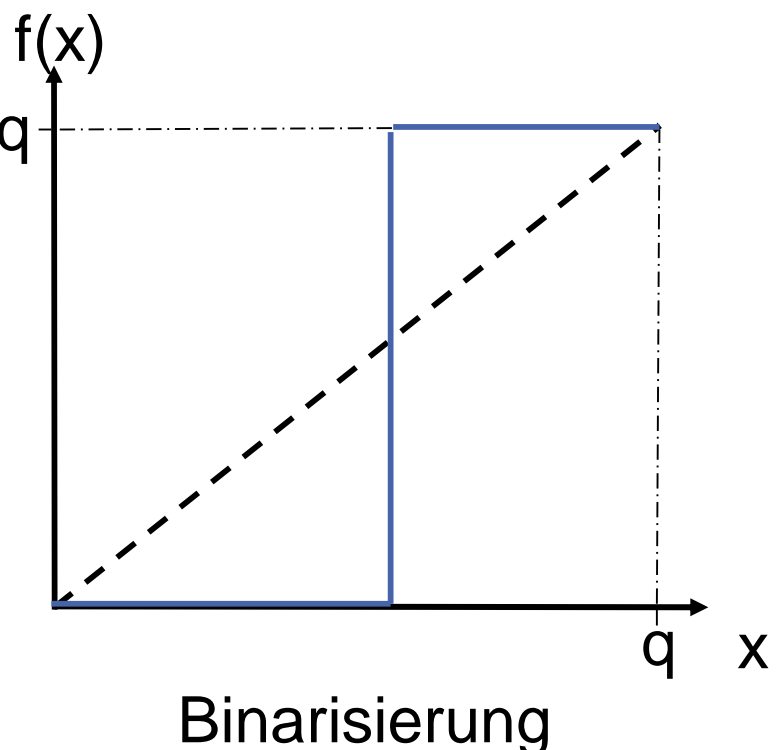




Beliebige Abbildungsfunktion

$$f:[0.q] \rightarrow [0.q]$$









Anwendung:

Ausgleich von Sensor-Nichtlinearitäten

Gewichtung

Binarisierung



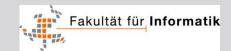
Automatische Kontrastanpassung



Spreizung

Histogrammdehnung

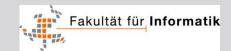
Histogrammausgleich



Spreizung



- Die Spreizung berechnet in einem Bild zunächst die minimale Intensität min und die maximale Intensität max
- Anschließend wird das Intervall [min, max] linear auf [0, 255] abgebildet und es werden entsprechend die Intensitäten im Bild angepasst
- Die Spreizung ist eine affine Punktoperation
- Nachteil:
 - In der Praxis nicht robust
 - Nur unter optimalen Bedingungen anwendbar



Spreizung



Abbildungsvorschrift:
$$I'(u,v) = q \cdot \frac{I(u,v) - min}{max - min}$$

Als affine Punktoperation:
$$I'(u,v) = \frac{q}{max - min} \cdot I(u,v) - \frac{q \cdot min}{max - min}$$

Algorithmus 11 Berechne $MinMax(I) \rightarrow min, max$

```
min := q, max := 0
for all pixels (u, v) in I do
if I(u, v) < min then
min := I(u, v)
end if
if I(u, v) > max then
max := I(u, v)
end if
end for
```

Algorithmus 12 Spreize $(I) \rightarrow I'$

 $min, max \leftarrow \text{BerechneMinMax}(I) \text{ {Algorithmus 11}}$

if
$$min = max$$
 then
STOP {Bild I ist homogen}
end if

$$\begin{array}{l} a := \frac{q}{max - min} \\ b := -\frac{q \cdot min}{max - min} \end{array}$$

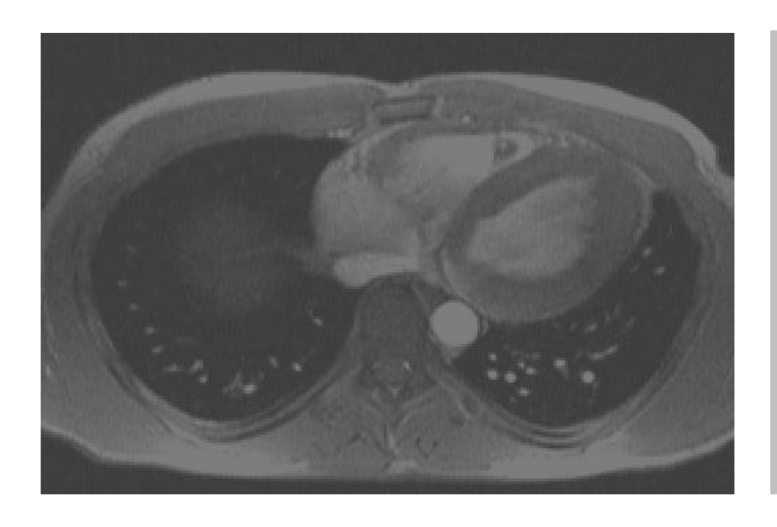
 $I' \leftarrow AffinePunktoperation(I, a, b) \{Algorithmus 8\}$

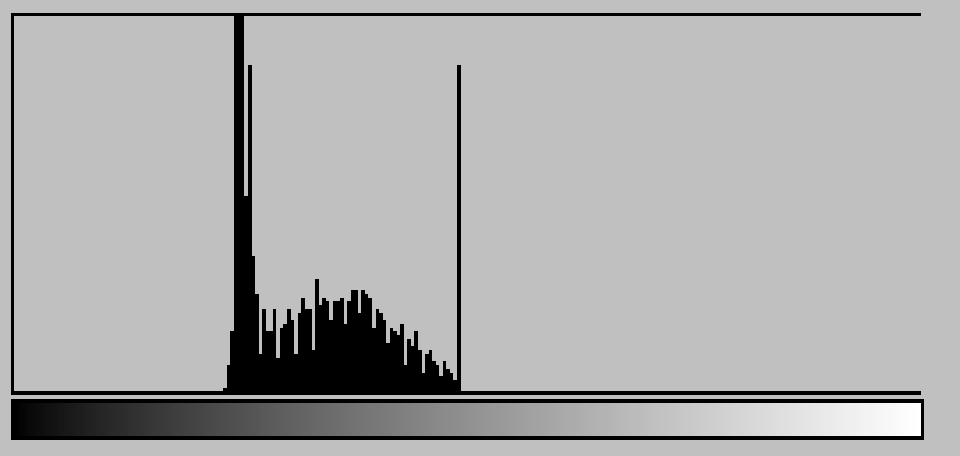
Grauwerthistogramm



Histogrammfunktion: gibt die Häufigkeit eines Merkmals an Normalerweise: Grauwert

$$H(x) = \#(u,v) : I(u,v) = x, x \in [0..q-1]$$





Berechnung des Grauwerthistogramms

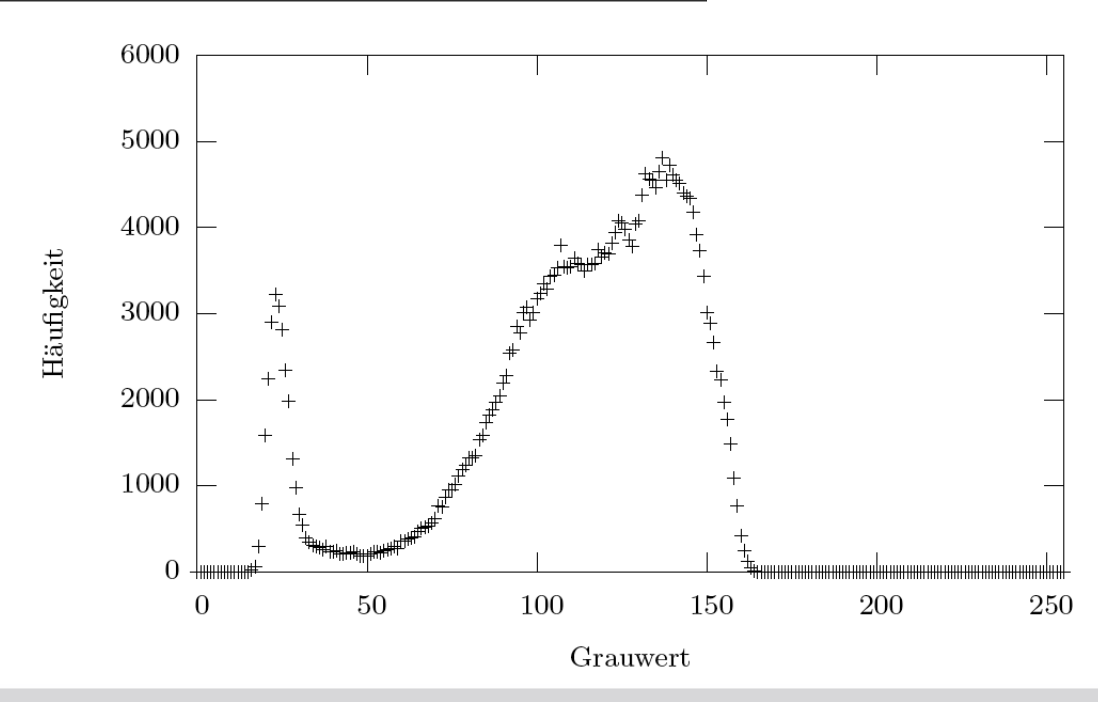


Algorithmus 9 BerechneGrauwertHistogramm $(I) \rightarrow H$

for
$$x := 0$$
 to q do
$$H(x) := 0$$
end for
for all pixels (u, v) in I do

for all pixels (u, v) in I do H(I(u, v)) := H(I(u, v)) + 1 end for

Bei einem 8 Bit Graustufenbild ist $q = 2^8 - 1 = 255$.



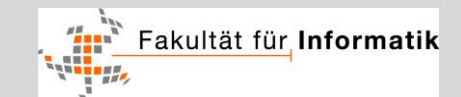
Histogrammdehnung



- Die Histogrammdehnung ist eine Verbesserung der Spreizung
- Anstatt der minimalen bzw. maximalen Intensität werden Quantile verwendet, um tatsächliche Maxima im Histogramm zu erkennen
- Die Histogrammdehnung ist eine affine Punktoperation
- Definition der Quantilsfunktion $H_q(p)$ für die Anwendung auf Histogrammen $(p \in [0, 1])$:

$$H_a(x) := \sum_{k=0}^{x} H(k)$$

$$H_q(p) := \inf \{ x \in \{0, \dots, q\} : H_a(x) \ge p \cdot H_a(q) \}$$



Histogrammdehnung



Algorithmus 13 Berechne Akkumuliertes Histogramm $(H) \rightarrow H_a$

```
H_a(0) := H(0)
for x := 1 to q do
H_a(x) := H_a(x-1) + H(x)
end for
```

Algorithmus 14 BerechneQuantil $(H_a, p) \rightarrow v$

```
for x := 0 to q do

if H_a(x) \ge p \cdot H_a(q) then

v := x

RETURN

end if

end for
```

Algorithmus 15 HistogrammDehnung $(I, p_{min} = 0, 1, p_{max} = 0, 9) \rightarrow I'$

```
H \leftarrow \operatorname{BerechneGrauwertHistogramm}(I) \{\operatorname{Algorithmus 9}\}
H_a \leftarrow \operatorname{BerechneAkkumuliertesHistogramm}(H) \{\operatorname{Algorithmus 13}\}
min \leftarrow \operatorname{BerechneQuantil}(H_a, p_{min}) \{\operatorname{Algorithmus 14}\}
max \leftarrow \operatorname{BerechneQuantil}(H_a, p_{max}) \{\operatorname{Algorithmus 14}\}

if min = max then
\operatorname{STOP} \{\operatorname{Bild} I \text{ ist homogen}\}
end if
a := \frac{q}{max - min}, \ b := -\frac{q \cdot min}{max - min}
I' \leftarrow \operatorname{AffinePunktoperation}(I, a, b) \{\operatorname{Algorithmus 8}\}
```

Histogrammausgleich



- Der Histogrammausgleich erhöht den Kontrast in Bereichen des Histogramms mit vielen Treffern
- Dadurch werden stark vertretene Grauwertbereiche für das Auge sichtbarer gemacht
- Der Histogrammausgleich ist eine homogene Punktoperation, jedoch keine affine Punktoperation
- Nachteil:
 Obwohl der Histogrammausgleich in der Praxis in der Regel den Kontrast erhöht, kann er auch zu einer Verminderung des Kontrasts führen (siehe Übung)

Histogrammausgleich



Algorithmus 16 HistogrammAusgleich $(I) \rightarrow I'$

 $H \leftarrow \text{BerechneGrauwertHistogramm}(I) \{\text{Algorithmus 9}\}\$

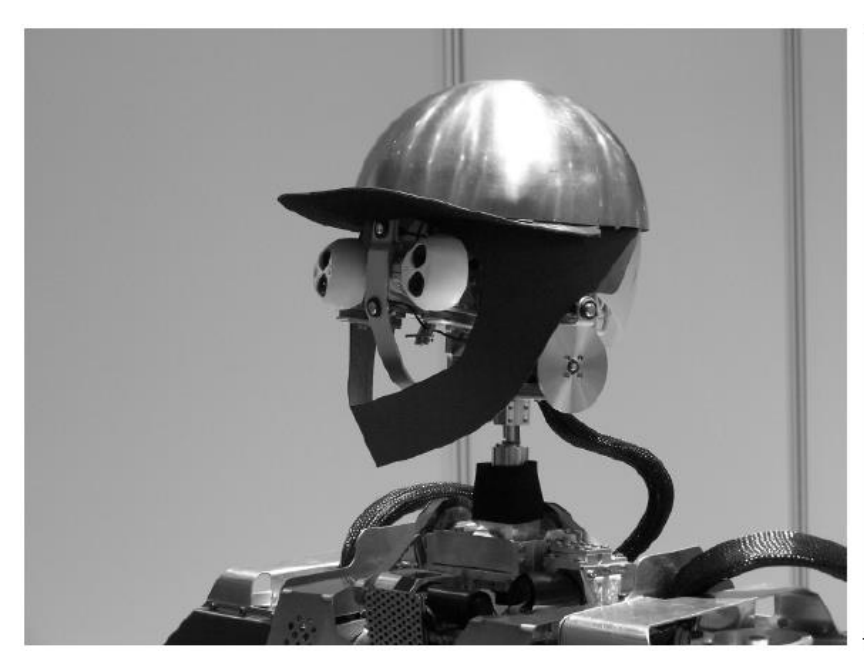
 $H_a \leftarrow \text{BerechneAkkumuliertesHistogramm}(H) \{\text{Algorithmus } 13\}$

for
$$x := 0$$
 to q do
$$H_n(x) := \operatorname{round}(\frac{q \cdot H_n(x)}{H_n(q)})$$
end for

for all pixels (u, v) in I do $I'(u, v) := H_n(I(u, v))$ end for

Beispiele zur Kontrastanpassung





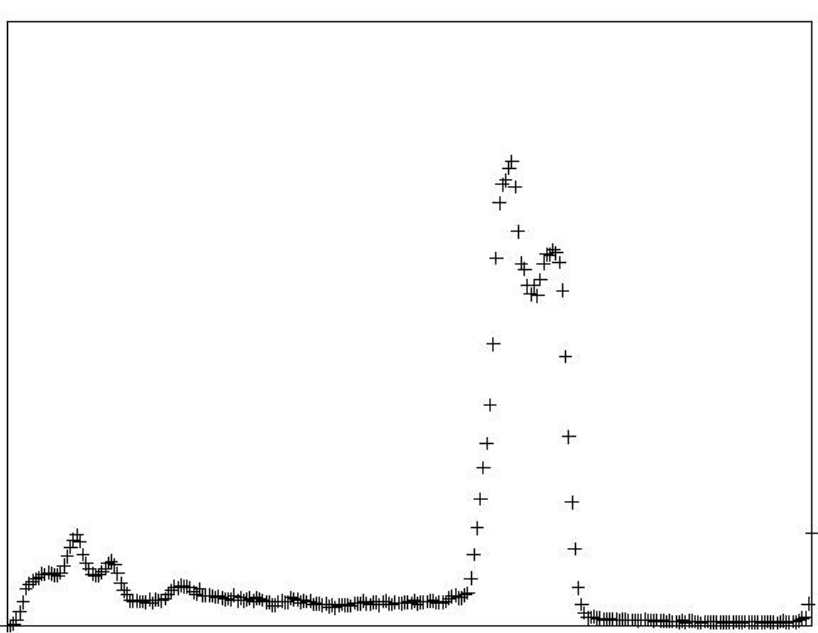
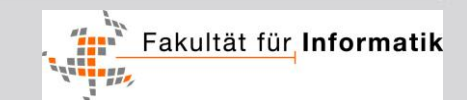
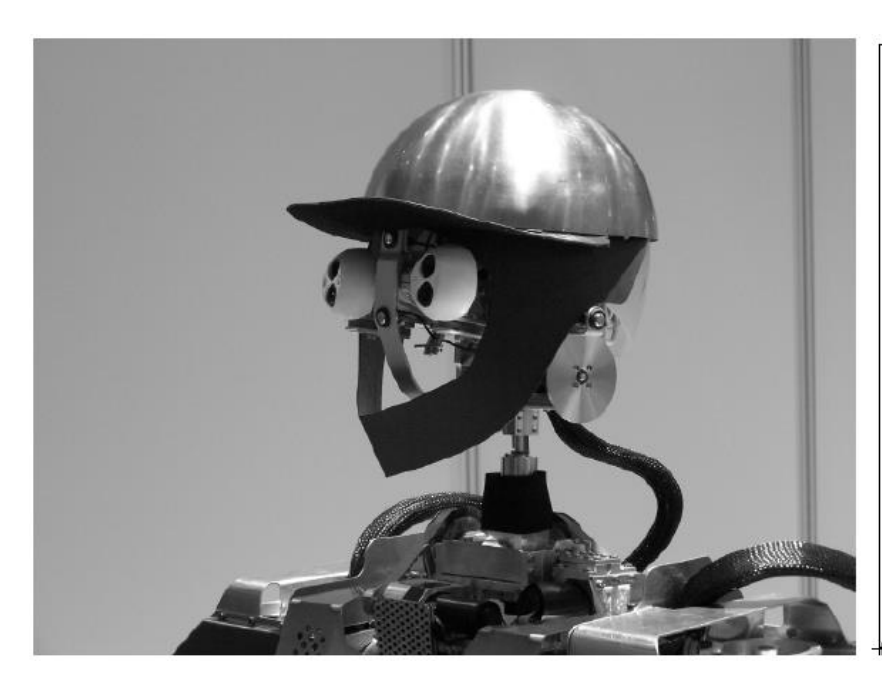


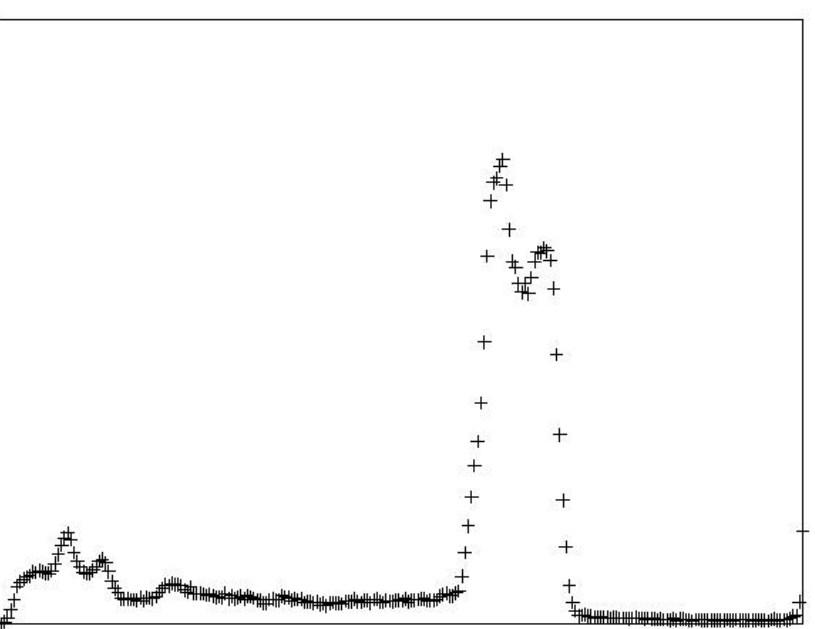
Bild des Kopfes des humanoiden Roboters ARMAR III. Links: Eingabebild. Rechts: Grauwerthistogramm.



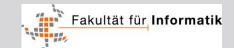
Beispiel Spreizung







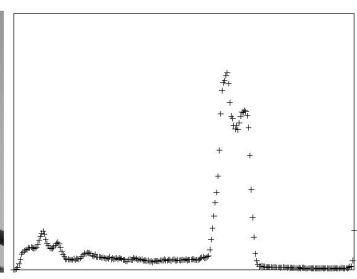
Ergebnis der Spreizung (identisch mit Eingabebild, da sowohl Intensität 0 als auch Intensität 255 vorhanden). Links: Ergebnisbild. Rechts: Grauwerthistogramm.



Beispiel Histogrammdehnung

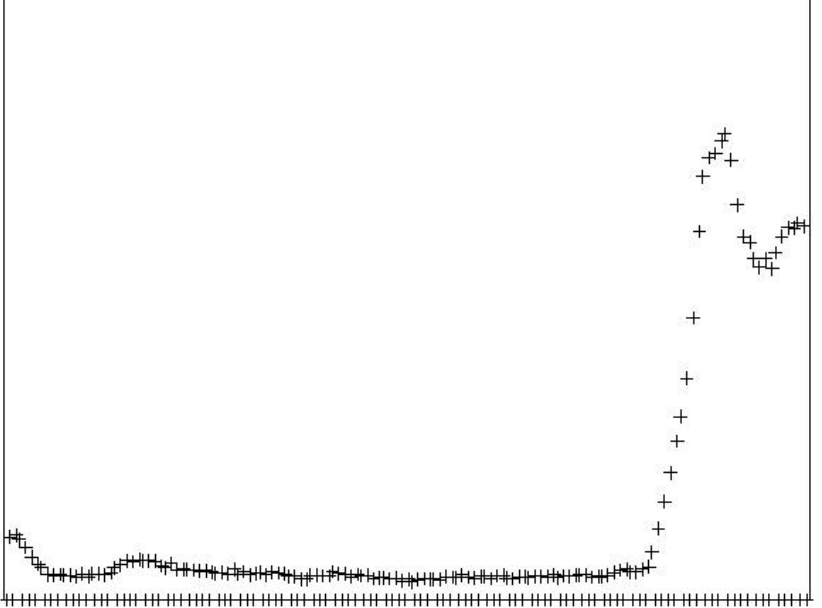






Eingabebild mit Grauwerthistogramm.



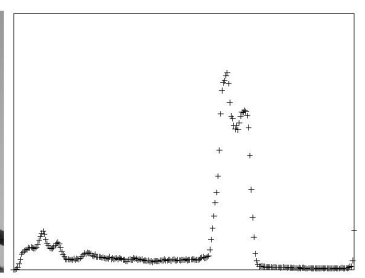


Ergebnis einer Histogrammdehnung mit $p_{min} = 0,1$ und $p_{max} = 0,9$. Links: Ergebnisbild. Rechts: Grauwerthistogramm.

Beispiel Histogrammausgleich

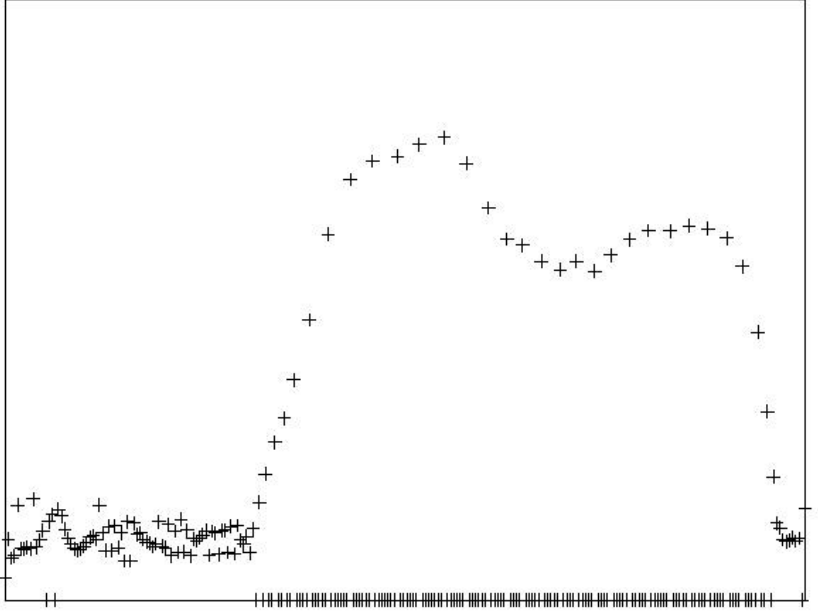






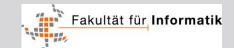
Eingabebild mit Grauwerthistogramm.





Ergebnis des Histogrammausgleichs.

Links: Ergebnisbild. Rechts: Grauwerthistogramm.

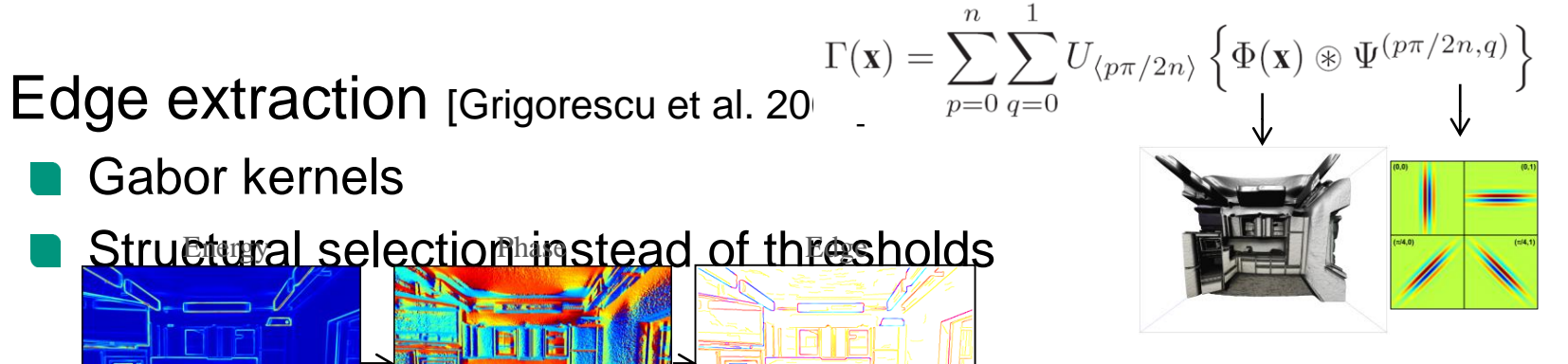


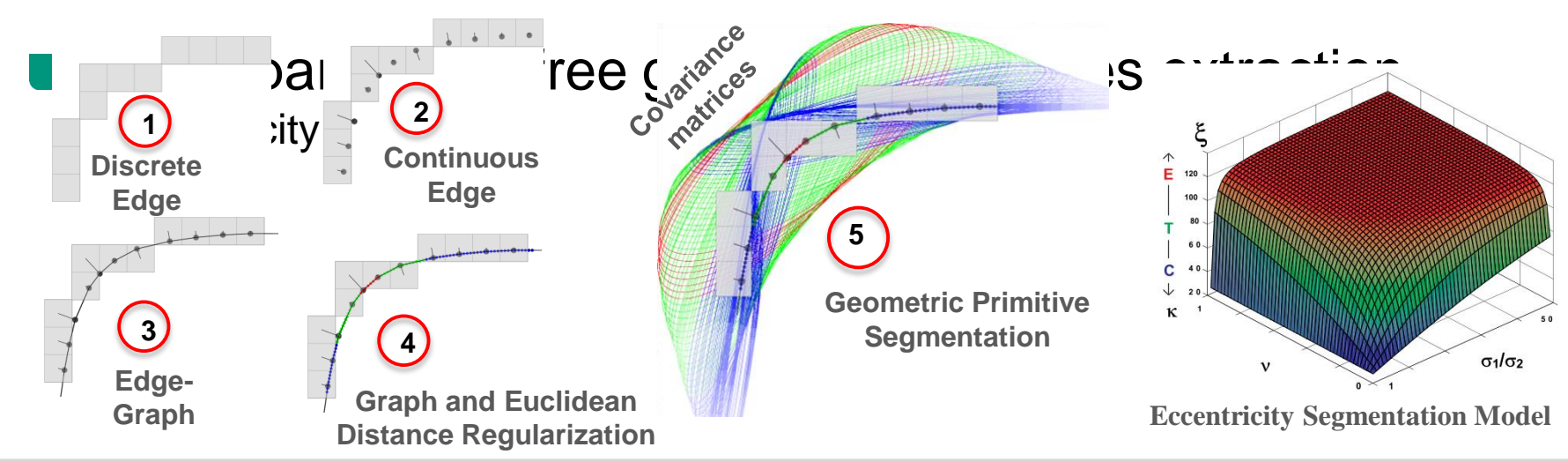
Visual Feature Extraction



- - Gabor kernels
 - Structural selection instead of thresholds









Nächste Vorlesung:

Mittwoch, 3. Mai 2016 Bildverarbeitung 2: Filtertheorie

